

Comune di: APRICENA

Provincia di: FOGGIA

Regione: PUGLIA



PROponente

NEOEN

NEOEN RENEWABLES ITALIA srl
Via Giuseppe Rovani, 7 - 20123 MILANO (MI)

OPERA

ID: 10651 – Integrazioni – PROGETTO DEFINITIVO

IMPIANTO DI PRODUZIONE DI ENERGIA ELETTRICA DA FONTE RINNOVABILE AGRIVOLTAICA DI POTENZA NOMINALE PARI A 20.013,84 kWp E RELATIVE OPERE DI CONNESSIONE ALLA RETE RTN

"SOLARE APRICENA - NEOEN"

OGGETTO

TITOLO DELL'ELABORATO:

INSEGUITORI FVT
RELAZIONE SINTETICA E DI CALCOLO – RELAZIONE GEOTECNICA

DATA:

25/01/2024

N°/CODICE ELABORATO:

REL 007b

Tipologia: REL (RELAZIONI)

I TECNICI

PROGETTISTI:

EDILSAP s.r.l.
Via di Selva Candida, 452 - 00166
ROMA
Ing. Fernando Sonnino Project Manager



Prof. Geol. Alfonso Russi
Via Friuli, 5 - 06034 FOLIGNO



PROFESSIONISTI:

Ing. Marianna Anastasio



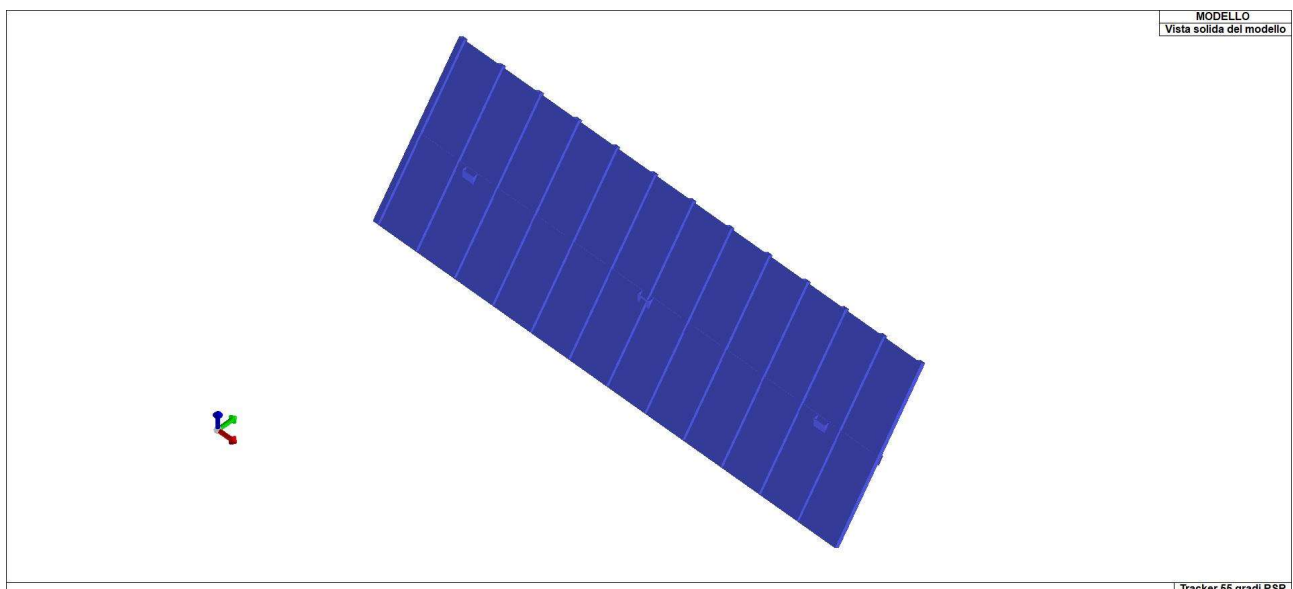
01	202202664	ID: 10651 Integrazioni Istanza VIA e AU – Modifica potenza	NOME E COGNOME	Prof. Geol. Alfonso Russi	Ing. Fernando Sonnino
00	202202664	Emissione per Progetto Definitivo	NOME E COGNOME	Prof. Geol. Alfonso Russi	Ing. Fernando Sonnino
N° REVISIONE	Cod. STMG	OGGETTO DELLA REVISIONE	ELABORAZIONE	VERIFICA	APPROVAZIONE

Proprietà e diritto del presente documento sono riservati - la riproduzione è vietata



INSEGUITORI FVT

Elaborato: **RELAZIONE SINTETICA DI CALCOLO**
RELAZIONE GEOTECNICA



Ubicazione: Località APRICENA (FG) Comune di APRICENA (FG)
Provincia di FOGGIA (Regione PUGLIA)

INDICE

1.	RELAZIONE SINTETICA DI CALCOLO	1
1.1	PREMESSA.....	1
1.2	QUADRO NORMATIVO DI RIFERIMENTO ADOTTATO	1
1.3	DESCRIZIONE GENERALE DELL'OPERA	1
2.	MODELLAZIONE	3
2.1	ELEMENTI FINITI – SEZIONI E SPESSORI	3
3.	CARATTERISTICHE MATERIALI UTILIZZATI.....	6
3.1	ELENCO DEI MATERIALI IMPIEGATI	6
4.	NEVE E VENTO	7
5.	ANALISI DEI CARICHI DEI SOLAI	9
6.	AZIONE SISMICA	10
6.1	CALCOLO FATTORE DI COMPORTAMENTO	11
7.	SCHEMATIZZAZIONE DEI CASI DI CARICO	13
8.	DEFINIZIONE DELLE COMBINAZIONI.....	21
8.1	TIPO DI ANALISI EFFETTUATE.....	22
8.2	COMBINAZIONI E/O PERCORSI DI CARICO.....	22
9.	PRINCIPALI RISULTATI	23
10.	SINTESI DELLE VERIFICHE DI SICUREZZA	26
11.	RELAZIONE GEOTECNICA INSEGUITORI FVT: PALO ELICA IN TRAZIONE	27
12.	RELAZIONE GEOTECNICA INSEGUITORI FVT: PALO ELICA IN COMPRESSIONE	40

1. RELAZIONE SINTETICA DI CALCOLO

1.1 PREMESSA

Nella presente introduzione sono riportati i principali elementi di inquadramento del progetto esecutivo riguardante le strutture, in relazione agli strumenti urbanistici, al progetto architettonico, al progetto delle componenti tecnologiche in generale e alle prestazioni attese dalla struttura.

1.2 QUADRO NORMATIVO DI RIFERIMENTO ADOTTATO

Le Norme e i documenti assunti a riferimento per la progettazione strutturale vengono indicati di seguito.

Progetto-verifica degli elementi	
Progetto cemento armato	D.M. 17-01-2018
Progetto acciaio	D.M. 17-01-2018
Progetto legno	D.M. 17-01-2018
Progetto muratura	D.M. 17-01-2018
Azione sismica	
Norma applicata per l' azione sismica	D.M. 17-01-2018

1.3 DESCRIZIONE GENERALE DELL'OPERA

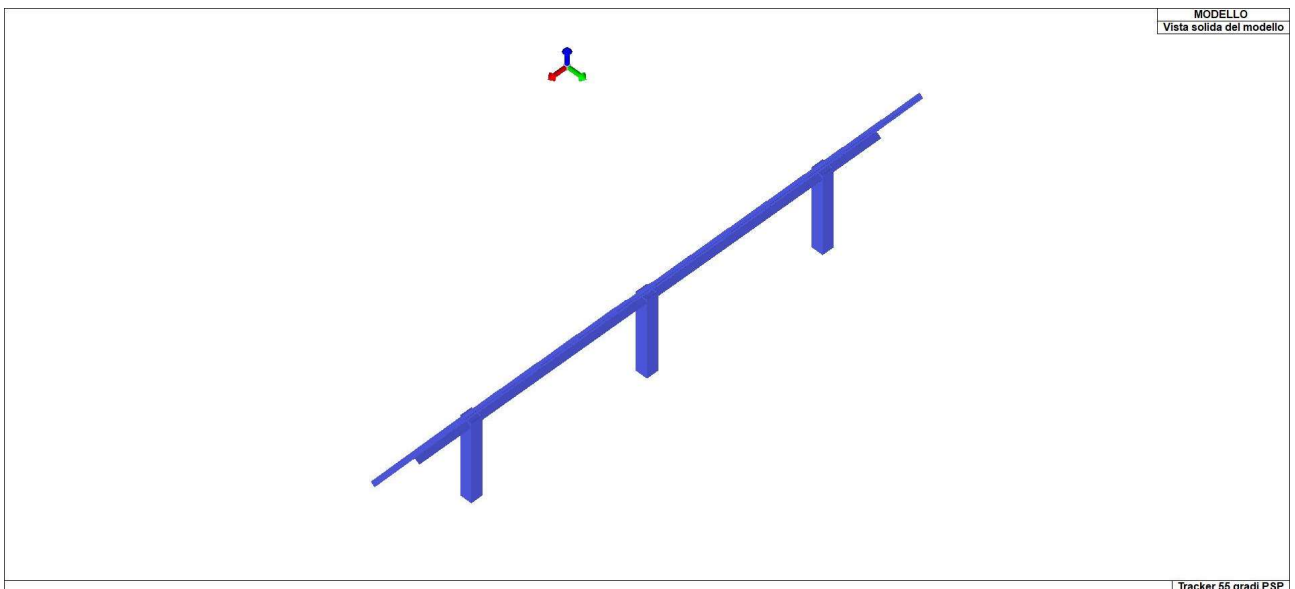
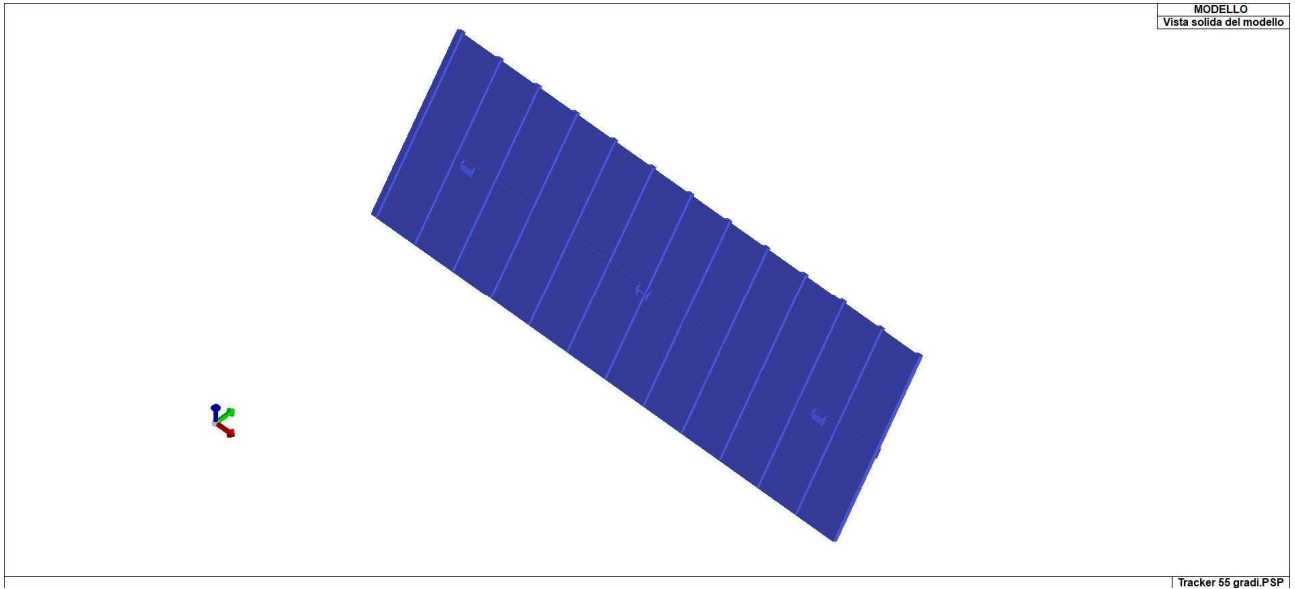
Descrizione generale dell'opera	
Opera di nuova realizzazione	SI
Ubicazione	Comune di APRICENA (FG) (Regione PUGLIA)
	Località APRICENA (FG)
	Longitudine 15.444, Latitudine 41.784 (Riferimento WGS84)
Tipo di fondazione	PALO ELICA

Materiali impiegati	
Cemento Armato	NO
Acciaio	SI
Legno	NO
Muratura	NO

Principali caratteristiche della struttura	
Struttura regolare in pianta	SI
Struttura regolare in altezza	SI
Classe di duttilità	ND struttura non dissipativa
Analisi per carichi non sismici	SI
Analisi sismica	Statica lineare
Verifica SLD di resistenza	NO

Parametri della struttura			
Classe d'uso	Vita Vn [anni]	Coeff. Uso	Periodo Vr [anni]
II	50.0	1.0	50.0

Di seguito si riportano le immagini del modello strutturale:



Viste solide

2. MODELLAZIONE

L'analisi strutturale è condotta con il metodo degli spostamenti per la valutazione dello stato tenso-deformativo indotto da carichi statici. L'analisi strutturale è condotta con il metodo dell'analisi modale e dello spettro di risposta in termini di accelerazione per la valutazione dello stato tenso-deformativo indotto da carichi dinamici (tra cui quelli di tipo sismico).

L'analisi strutturale viene effettuata con il metodo degli elementi finiti. Il metodo sopraindicato si basa sulla schematizzazione della struttura in elementi connessi solo in corrispondenza di un numero prefissato di punti denominati nodi. I nodi sono definiti dalle tre coordinate cartesiane in un sistema di riferimento globale. Le incognite del problema (nell'ambito del metodo degli spostamenti) sono le componenti di spostamento dei nodi riferite al sistema di riferimento globale (traslazioni secondo X, Y, Z, rotazioni attorno X, Y, Z). La soluzione del problema si ottiene con un sistema di equazioni algebriche lineari i cui termini noti sono costituiti dai carichi agenti sulla struttura opportunamente concentrati ai nodi:

$$\mathbf{K} * \mathbf{u} = \mathbf{F}$$

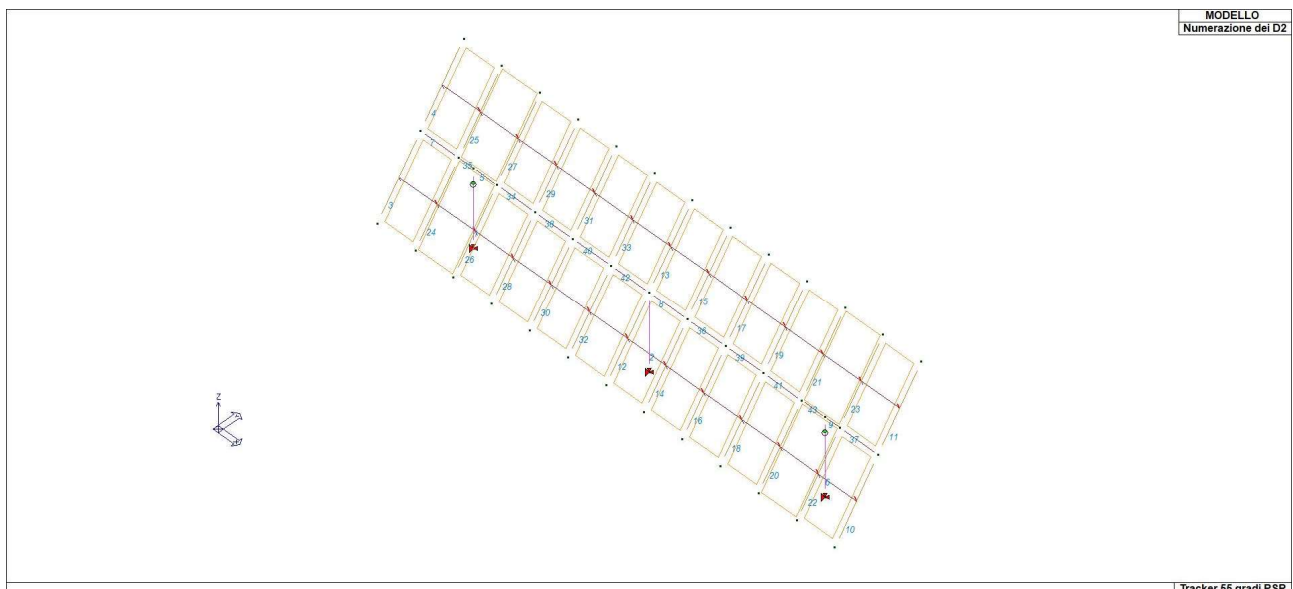
dove \mathbf{K} = matrice di rigidezza
 \mathbf{u} = vettore spostamenti nodali
 \mathbf{F} = vettore forze nodali

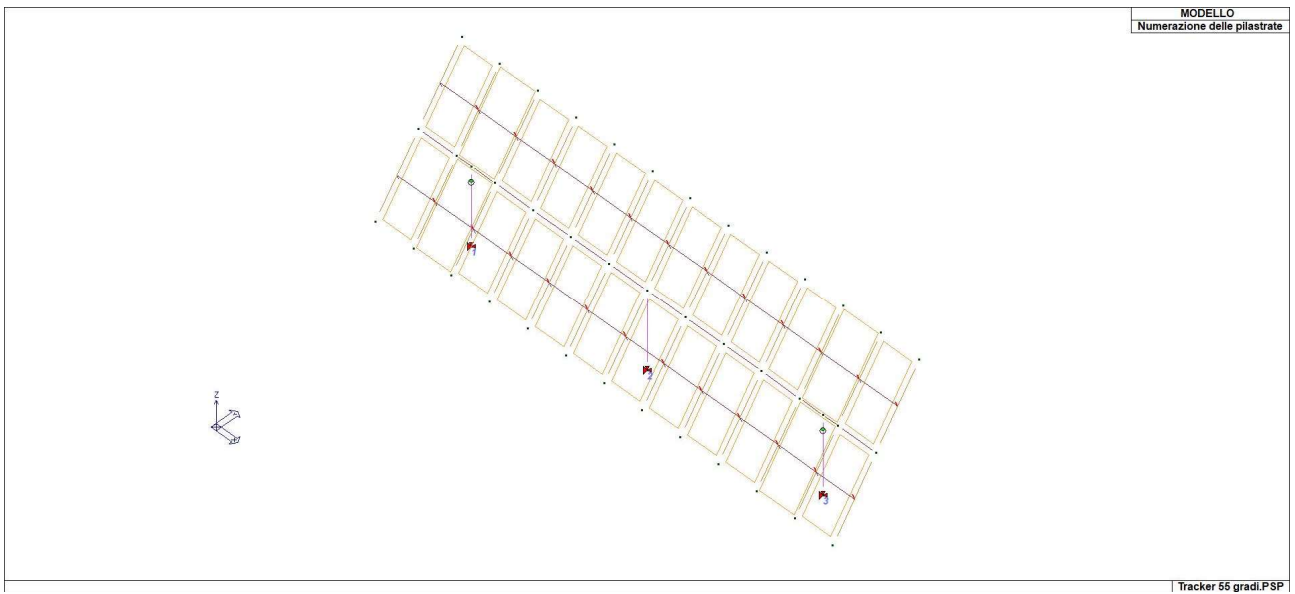
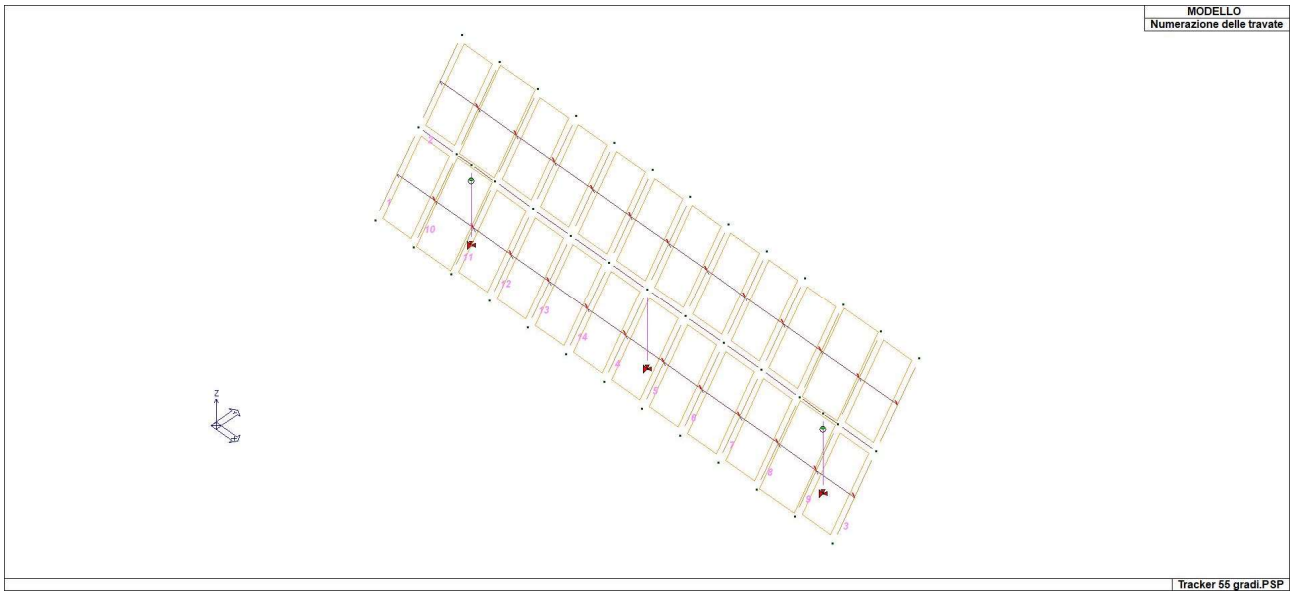
Dagli spostamenti ottenuti con la risoluzione del sistema vengono quindi dedotte le sollecitazioni e/o le tensioni di ogni elemento, riferite generalmente a una terna locale all'elemento stesso.

Il sistema di riferimento utilizzato è costituito da una terna cartesiana destrorsa XYZ. Si assume l'asse Z verticale ed orientato verso l'alto.

2.1 ELEMENTI FINITI – SEZIONI E SPESSORI

A seguire si riportano le immagini relative alle numerazioni di interesse:





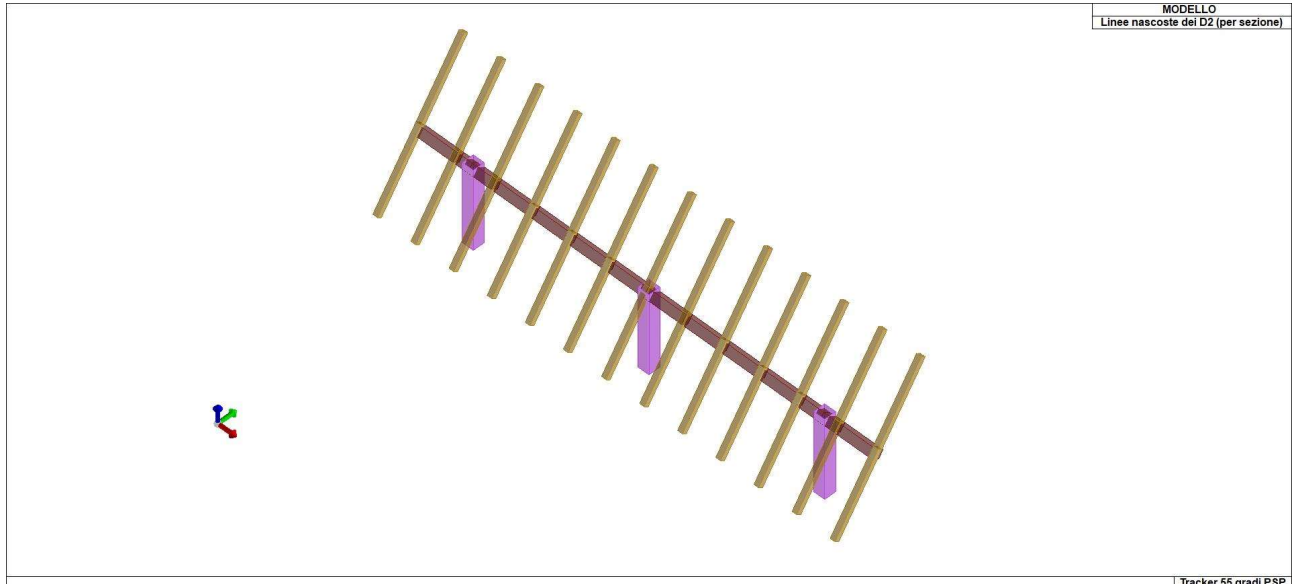
Modello numerico di calcolo

Si riportano di seguito le caratteristiche di sezioni e spessori degli elementi strutturali, in formato tabellare e immagini:

TABELLA_SEZIONI											
Id	Tipo SEZ	Area	A V2	A V3	Jt	J 2-2	J 3-3	W 2-2	W 3-3	Wp 2-2	Wp 3-3
-	-	cm2	cm2	cm2	cm4	cm4	cm4	cm3	cm3	cm3	cm3
15	T.QU 350x350x10	132.57	0.0	0.0	4.013e+04	2.519e+04	2.519e+04	1439.38	1439.38	1674.83	1674.83
16	T.QU 250x250x10	92.57	0.0	0.0	1.420e+04	8706.67	8706.67	696.53	696.53	822.00	822.00
17	T.QU 150x150x5	28.36	0.0	0.0	1554.13	982.12	982.12	130.95	130.95	152.98	152.98

Legenda

- Tipo SEZ Indica il nome identificativo e la tipologia di sezione
- Area Area della sezione
- A V2 Area della sezione/Fattore di taglio (direzione 2)
- A V3 Area della sezione/Fattore di taglio (direzione 3)
- Jt Momento di inerzia torsionale della sezione
- J 2-2 Momento di inerzia della sezione riferito all'Asse 2
- J 3-3 Momento di inerzia della sezione riferito all'Asse 3
- W 2-2 Modulo di resistenza della sezione riferito all'Asse 2
- W 3-3 Modulo di resistenza della sezione riferito all'Asse 3
- Wp 2-2 Modulo di resistenza plastico della sezione riferito all'Asse 2
- Wp 3-3 Modulo di resistenza plastico della sezione riferito all'Asse 3



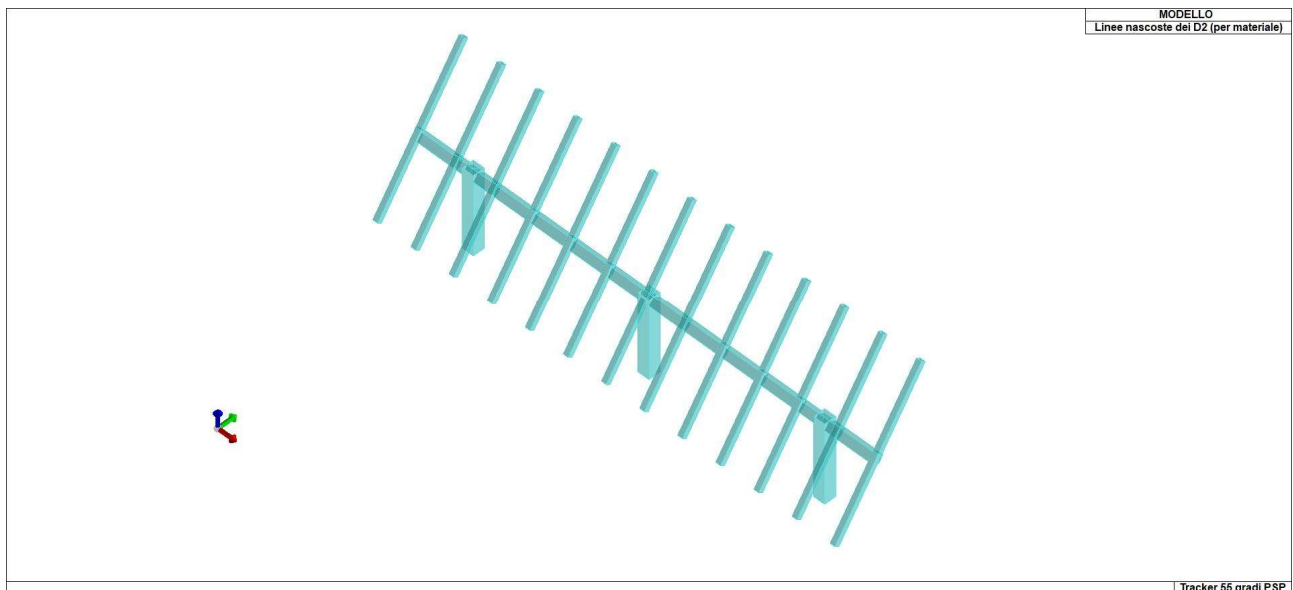
Sezioni

3. CARATTERISTICHE MATERIALI UTILIZZATI

Nell'esecuzione delle opere oggetto della presente relazione è previsto l'utilizzo dei seguenti materiali con le relative caratteristiche:

3.1 ELENCO DEI MATERIALI IMPIEGATI

[13]- MATERIALE PER ELEVAZIONE -			
Acciaio Fe510 - S355-acciaio Fe510-S355			
Id	-	-	u.m.
13		< MATERIALE NUOVO >	
		Tensione ft	5100.0 daN/cm2
		Tensione fy	3550.0 daN/cm2
		Coefficiente gammaM0 (resistenza)	1.1
		Coefficiente gammaM1 (stabilità)	1.1
		Coefficiente gammaM2 (frattura)	1.2



Materiali

4. NEVE E VENTO

Si riportano a seguire i calcoli effettuati per la determinazione delle azioni di neve e vento.

LOCALIZZAZIONE DELL'INTERVENTO

Ubicazione:

Località	APRICENA
Provincia	FOGGIA
Regione	PUGLIA
Latitudine	41,78400 N
Longitudine	15,44400 E
Altitudine s.l.m.	73,0 m

CALCOLO DELLE AZIONI DELLA NEVE E DEL VENTO

Normativa di riferimento:

D.M. 17 gennaio 2018 - NORME TECNICHE PER LE COSTRUZIONI

Cap. 3 - AZIONI SULLE COSTRUZIONI - Par. 3.3 e 3.4

Circolare n.7 - 21 gennaio 2019 C.S.LL.PP.

NEVE

Il carico della neve sulle coperture è calcolato in relazione ai seguenti parametri:

Zona: macro area derivante dalla suddivisione del territorio nazionale;

Esp.: zona topografica di esposizione al vento;

Ce: coefficiente di esposizione al vento;

TR: periodo di ritorno di progetto espresso in anni;

as: altitudine del sito;

qsk: valore caratteristico del carico della neve al suolo (per Tr = 50 anni);

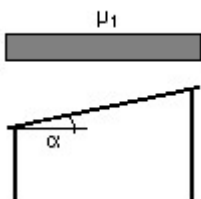
Zona	Esposizione	Ce	TR	as	qsk
II	Zona normale	1,00	50 anni	73 m	100,00

Copertura ad una falda:

Angolo di inclinazione della falda $\alpha = 55,0^\circ$

$\mu_1 = 0,13 \Rightarrow Q_1 = 20 \text{ daN/mq}$

Schema di carico:



VENTO

La velocità del vento è calcolata in relazione ai seguenti parametri:

Zona: macro area derivante dalla suddivisione del territorio nazionale (NTC - Tab. 3.3.I);

Vb,0: velocità base della zona (NTC - Tab. 3.3.I);

a0: altitudine base della zona (NTC - Tab. 3.3.I);

ks: parametro in funzione della zona in cui sorge la costruzione (NTC - Tab. 3.3.I);

as: altitudine del sito;

TR: periodo di ritorno di progetto espresso in anni;

Vb: velocità di riferimento calcolata come segue:

$$Vb = Vb,0 \text{ per } as \leq a0$$

$$Vb = Vb,0 (1 + ks ((as / a0) - 1)) \text{ per } a0 < as \leq 1500 \text{ m}$$

per $as > 1500 \text{ m}$ vanno ricavati da opportuna documentazione o da indagini comprovate

Tali valori non dovranno essere minori di quelli previsti per $as = 1500 \text{ m}$

Cr: coefficiente di ritorno in funzione del periodo di ritorno TR
 Vr: velocità di riferimento riferita al periodo di ritorno TR

Zona	Vb,0	a0	ks	as	TR	Vb	Cr	Vr
3	27 m/s	500 m	0,37	73 m	50 anni	27,00 m/s	1,000	27,00 m/s

Pressione cinetica di riferimento, $q_r = \rho V_r^2 / 2 = 46 \text{ daN/mq}$

dove: ρ è la densità dell'aria (assunta convenzionalmente costante = 1,25 kg/mc)

Esposizione:

Da cui i parametri della tabella 3.3.II delle NTC

Kr	z0	z min
0,19	0,05 m	4 m

Classe di rugosità del terreno: D (NTC - Tab. 3.3.III)

Aree prive di ostacoli o con al di più rari ostacoli isolati (aperta campagna, aeroporti, aree agricole, zone paludose o sabbiose, superfici innevate o ghiacciate, mare, laghi,...)

L'azione del vento sulle costruzioni è determinata dai seguenti parametri:

Cp: coefficiente di pressione;

Cd: coefficiente dinamico;

Ct: coefficiente di topografia;

Ce: coefficiente di esposizione (funzione di z, z0 e Ct);

z: altezza sul suolo.

Cp	Cd	Ct	Ce	z
1,00	1,00	1,00	1,87	4,50 m

Pressione del vento

$$p = q_r C_e C_p C_d = 85 \text{ daN/mq}$$

5. ANALISI DEI CARICHI DEI SOLAI

Si riportano di seguito l'analisi dei carichi relative ai solai presenti nella struttura in oggetto:

TABELLA_CARICHI_SOLAI

ID Arch.	Tipo SOL	G1	G2	Q	Fatt. A	s sis.	Psi 0	Psi 1	Psi 2	Psi S 2	Fatt. Fi
-	-	daN/cm2	daN/cm2	daN/cm2	-	-	-	-	-	-	-
10	Neve	2.00e-03	3.00e-03	2.00e-03		1.00	0.50	0.20	0.0	0.0	1.00
	Variab.						0.70	0.50	0.30		

Legenda

- Tipo SOL Indica la destinazione d'uso sulla base del carico variabile
- G1 Carichi permanenti
- G2 Carichi permanenti non strutturali
- Q Carichi variabili e neve
- Fatt. A Fattore di riduzione dell'area caricata (solo per solai speciali)
- s sis. Coefficiente di riduzione del sovraccarico accidentale -(DM 96)-
- Psi 0 Coefficiente di combinazione -(tab. 2.5.I NTC2018)-
- Psi 1 Coefficiente di combinazione -(tab. 2.5.I NTC2018)-
- Psi 2 Coefficiente di combinazione -(tab. 2.5.I NTC2018)-
- Psi S 2 Coefficiente di combinazione che fornisce il valore Quasi Permanente dell'azione variabile Qi -(OPCM 3274)-
- Fatt. Fi Coefficiente che tiene conto della probabilità che tutti i carichi siano presenti sull'intera struttura durante l'azione sismica -(OPCM 3274)-

10 - FVT_55 gradi

Per il solaio si adottano i seguenti carichi in daN/mq:

Permanente G1	Permanente G2	Variabile Q	Neve
20.0	30.0	0.0	20.0

Coefficienti di combinazione carichi neve: $\psi_0 = 0.50$, $\psi_1 = 0.20$, $\psi_2 = 0.00$

6. AZIONE SISMICA

L'azione sismica sulle costruzioni è valutata a partire dalla "pericolosità sismica di base", in condizioni ideali di sito di riferimento rigido con superficie topografica orizzontale.

Lo spettro di risposta elastico in accelerazione della componente orizzontale del moto sismico, S_e , è definito dalle seguenti espressioni:

Dove per sottosuolo di categoria **A** i coefficienti S_S e C_C valgono 1; mentre per le categorie di sottosuolo **B**, **C**, **D**, **E** i coefficienti S_S e C_C vengono calcolati mediante le espressioni riportate nella seguente Tabella

Categoria sottosuolo	S_S	C_C
A	1,00	1,00
B	$1,00 \leq 1,40 - 0,40 \cdot F_o \cdot \frac{a_g}{g} \leq 1,20$	$1,10 \cdot (T_C^*)^{-0,20}$
C	$1,00 \leq 1,70 - 0,60 \cdot F_o \cdot \frac{a_g}{g} \leq 1,50$	$1,05 \cdot (T_C^*)^{-0,33}$
D	$0,90 \leq 2,40 - 1,50 \cdot F_o \cdot \frac{a_g}{g} \leq 1,80$	$1,25 \cdot (T_C^*)^{-0,50}$
E	$1,00 \leq 2,00 - 1,10 \cdot F_o \cdot \frac{a_g}{g} \leq 1,60$	$1,15 \cdot (T_C^*)^{-0,40}$

Per tenere conto delle condizioni topografiche e in assenza di specifiche analisi di risposta sismica locale, si utilizzano i valori del coefficiente topografico S_T riportati nella seguente Tabella

Categoria topografica	Ubicazione dell'opera o dell'intervento	S_T
T1	-	1,0
T2	In corrispondenza della sommità del pendio	1,2
T3	In corrispondenza della cresta di un rilievo con pendenza media minore o uguale a 30°	1,2
T4	In corrispondenza della cresta di un rilievo con pendenza media maggiore di 30°	1,4

Lo spettro di risposta elastico in accelerazione della componente verticale del moto sismico, S_{ve} , è definito dalle espressioni:

$$0 \leq T < T_B \quad S_{ve}(T) = a_g \cdot S \cdot \eta \cdot F_v \cdot \left[\frac{T}{T_B} + \frac{1}{\eta \cdot F_o} \left(1 - \frac{T}{T_B} \right) \right]$$

$$T_B \leq T < T_C \quad S_{ve}(T) = a_g \cdot S \cdot \eta \cdot F_v$$

$$T_C \leq T < T_D \quad S_{ve}(T) = a_g \cdot S \cdot \eta \cdot F_v \cdot \left(\frac{T_C}{T} \right)$$

$$T_D \leq T \quad S_{ve}(T) = a_g \cdot S \cdot \eta \cdot F_v \cdot \left(\frac{T_C \cdot T_D}{T^2} \right)$$

I valori di S_S , T_B , T_C e T_D , sono riportati nella seguente Tabella

Categoria di sottosuolo	S_S	T_B	T_C	T_D
A, B, C, D, E	1,0	0,05 s	0,15 s	1,0 s

La struttura è localizzata in:

Localizzazione
Località APRICENA (FG)
Comune di APRICENA (FG)
Regione PUGLIA
Longitudine 15.444, Latitudine 41.784 (Riferimento WGS84)

L'azione sismica viene definita in relazione a un periodo di riferimento V_r che si ricava, per ciascun tipo di costruzione, moltiplicandone la vita nominale per il coefficiente d'uso (vedi tabella Parametri della struttura). Fissato il periodo di riferimento V_r e la probabilità di superamento P_{ver} associata a ciascuno degli stati limite considerati, si ottiene il periodo di ritorno T_r e i relativi parametri di pericolosità sismica (vedi tabella successiva):

ag: accelerazione orizzontale massima del terreno;

Fo: valore massimo del fattore di amplificazione dello spettro in accelerazione orizzontale;

T*c: periodo di inizio del tratto a velocità costante dello spettro in accelerazione orizzontale;

Parametri della struttura						
Classe d'uso	Vita V_n	Coeff. Uso	Periodo V_r	Tipo di suolo	Categoria topografica	Quota relativa
	[anni]		[anni]			[%]
II	50.0	1.0	50.0	B	T1	-

La risposta sismica locale (RSL) è definita come da NTC 2018 Tab. 3.2.II e Tab. 3.2.III

6.1 CALCOLO FATTORE DI COMPORTAMENTO

Principali caratteristiche della struttura	
Opera di nuova realizzazione	SI
Struttura regolare in pianta	SI
Struttura regolare in altezza	SI
Classe di duttilità	ND struttura non dissipativa
Analisi per carichi non sismici	SI
Analisi sismica	Statica lineare
Verifica SLD di resistenza	NO

Fattori di comportamento utilizzati SLU			
	Dissipativi	Verifiche fragili	Non Dissipativi
q SLU x	1.00	1.00	1.00
q SLU y	1.00	1.00	1.00
q SLU z	1.50	-	-

Fattori di comportamento utilizzati SLD	
q SLD x	1.00
q SLD y	1.00
q SLD z	1.00
Eta SLO	1.00

Si riportano di seguito, per completezza, le videate delle opzioni così come impostate nel programma:

ISTITUTO NAZIONALE DI GEOFISICA E VULCANOLOGIA

Nota: per il calcolo dei parametri sismici
 1) inserire le coordinate geografiche 2) introdurre Vn e Cu
 Per le isole è possibile utilizzare come località: gruppo isole N
 [con N = 1,2,3,4,5]

Vertici della maglia elementare INGV [riferimento ED50]

Id nodo	Longitudine	Latitudine	Distanza [km]
29000	15.434	41.769	1.993
29001	15.501	41.767	5.072
28779	15.503	41.817	6.000
28778	15.436	41.819	3.859

Coordinate geografiche [riferimento WGS84]

Località:

Longitudine: Latitudine:

Applica la Risposta Sismica Locale

Parametri per le forme spettrali

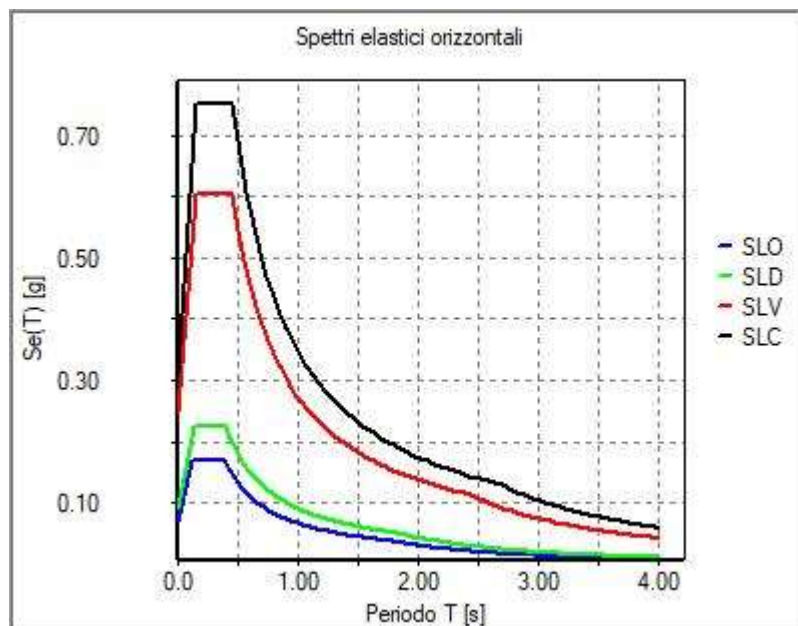
	Pver	Tr	ag [g]	Fo	T*c
SLO	81	30.11	0.0568	2.462	0.280
SLD	63	50.29	0.0748	2.490	0.290
SLV	10	474.56	0.2063	2.450	0.330
SLC	5	974.79	0.2726	2.430	0.340

Periodo di riferimento per l'azione sismica

Vita Vn [anni]	Coefficiente uso Cu	Periodo Vr [anni]	Livello di sicurezza
<input type="text" value="50"/>	<input type="text" value="1"/>	<input type="text" value="50"/>	<input type="text" value="100"/>

Rimuovi limiti Vr e Tr (di norma NO)

Si riportano di seguito gli SPETTRI di input sismico e le caratteristiche dinamiche proprie della struttura, pertanto in assenza di eccentricità aggiuntive:



7. SCHEMATIZZAZIONE DEI CASI DI CARICO

E' possibile definire i casi di carico scegliendo fra le dodici tipologie elencate nella tabella seguente:

	Tipo CDC	Descrizione
1	Ggk	caso di carico comprensivo del peso proprio struttura
2	Gk	caso di carico con azioni permanenti
3	Qk	caso di carico con azioni variabili
4	Gsk	caso di carico comprensivo dei carichi permanenti sui solai e sulle coperture
5	Qsk	caso di carico comprensivo dei carichi variabili sui solai
6	Qnk	caso di carico comprensivo dei carichi di neve sulle coperture
7	Qtk	caso di carico comprensivo di una variazione termica agente sulla struttura
8	Qvk	caso di carico comprensivo di azioni da vento sulla struttura
9	Esk	caso di carico sismico con analisi statica equivalente
10	Edk	caso di carico sismico con analisi dinamica
11	Etk	caso di carico comprensivo di azioni derivanti dall' incremento di spinta delle terre in condizione sismica
12	Pk	caso di carico comprensivo di azioni derivanti da coazioni, cedimenti e precompressioni

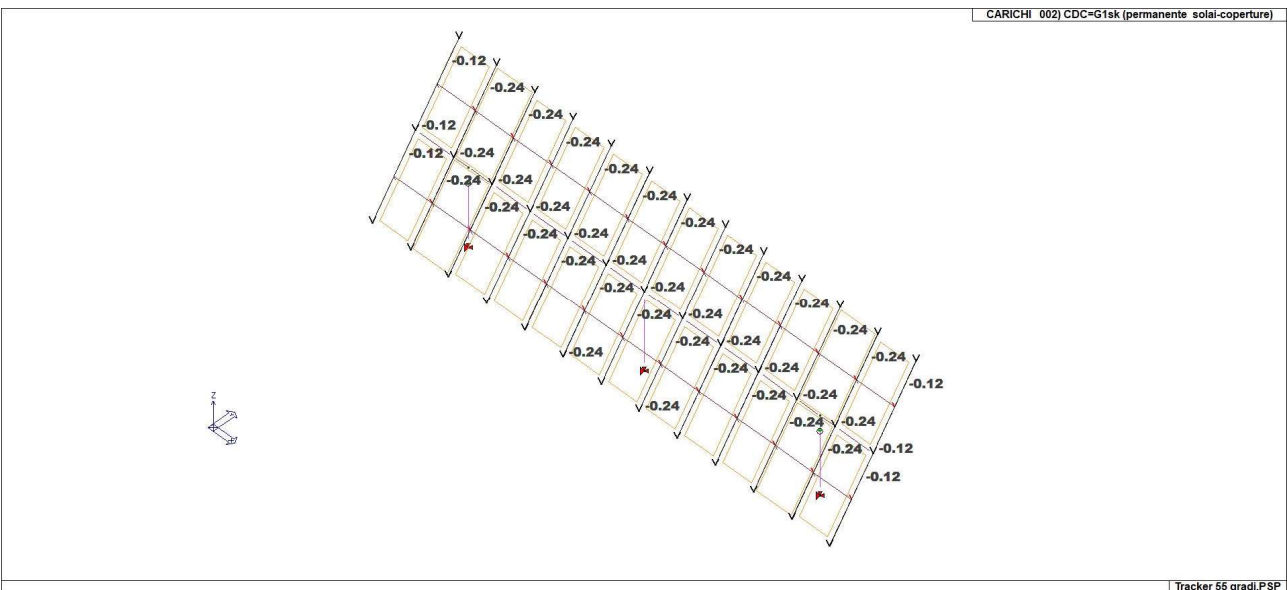
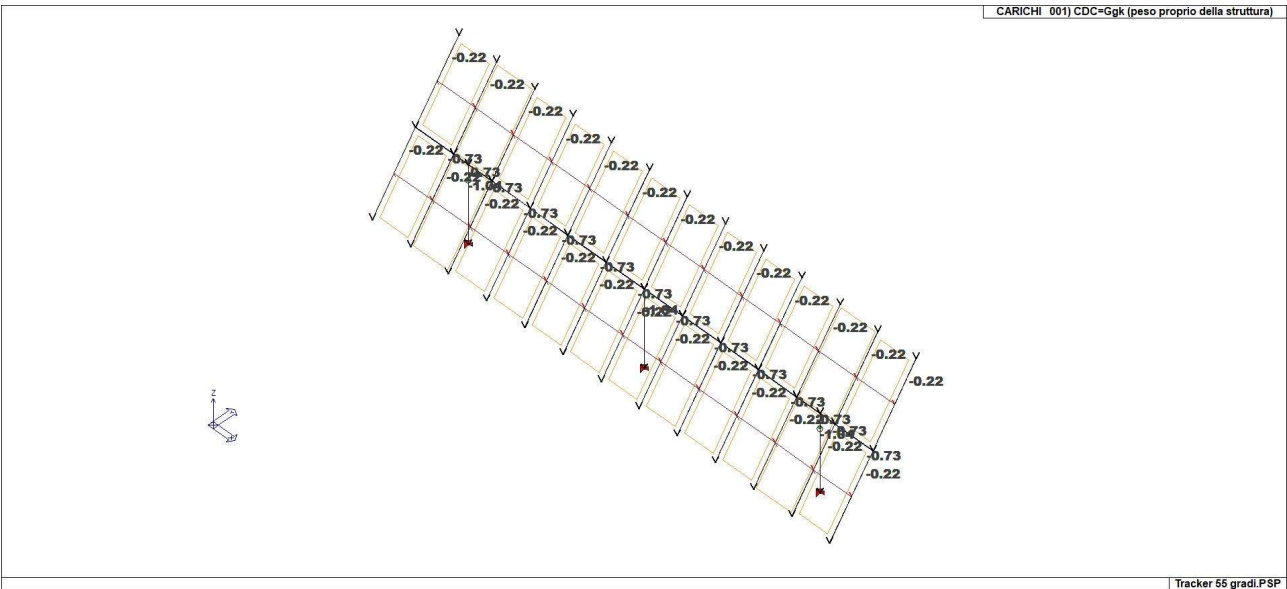
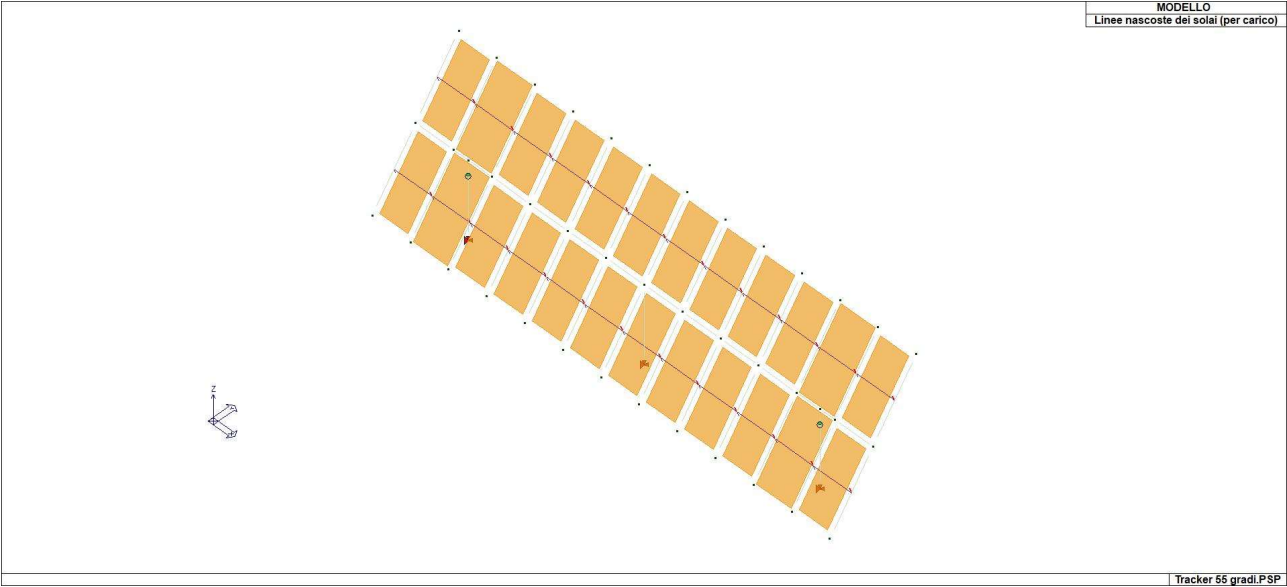
I casi di carico utilizzati nella modellazione oggetto della presente relazione sono i seguenti:

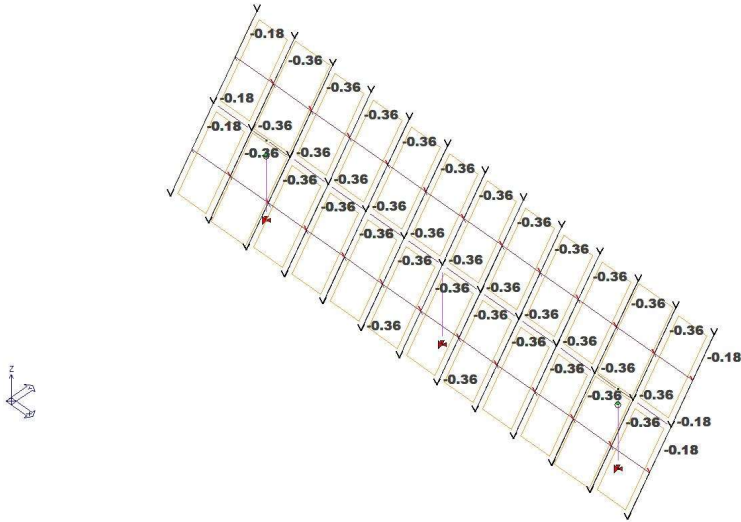
TABELLA_CASI_DI_CARICO

CDC	Tipo CDC	Sigla Id	Note
1	Ggk	CDC=Ggk (peso proprio della struttura)	
2	Gsk	CDC=G1sk (permanente solai-coperture)	
3	Gsk	CDC=G2sk (permanente solai-coperture n.c.d.)	
4	Qnk	CDC=Qnk (carico da neve)	
5	Qk	CDC=Qkv ++ 1/4	
6	Qk	CDC=Qkv -- 1/4	
7	Qk	CDC=Qkv ++ 3/4	
8	Qk	CDC=Qkv -- 3/4	
9	Qk	CDC=Qkv ++ unif.	
10	Qk	CDC=Qkv -- unif.	
11	Esk	CDC=Es (statico SLU) alfa=0.0 (ecc. +)	
12	Esk	CDC=Es (statico SLU) alfa=0.0 (ecc. -)	
13	Esk	CDC=Es (statico SLU) alfa=90.00 (ecc. +)	
14	Esk	CDC=Es (statico SLU) alfa=90.00 (ecc. -)	
15	Esk	CDC=Es (statico SLD) alfa=0.0 (ecc. +)	
16	Esk	CDC=Es (statico SLD) alfa=0.0 (ecc. -)	
17	Esk	CDC=Es (statico SLD) alfa=90.00 (ecc. +)	
18	Esk	CDC=Es (statico SLD) alfa=90.00 (ecc. -)	

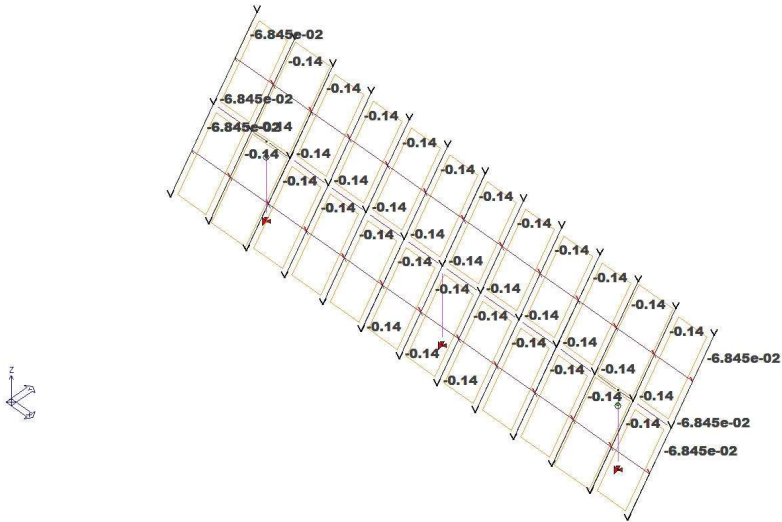
Legenda

Tipo CDC Indica il tipo di caso di carico

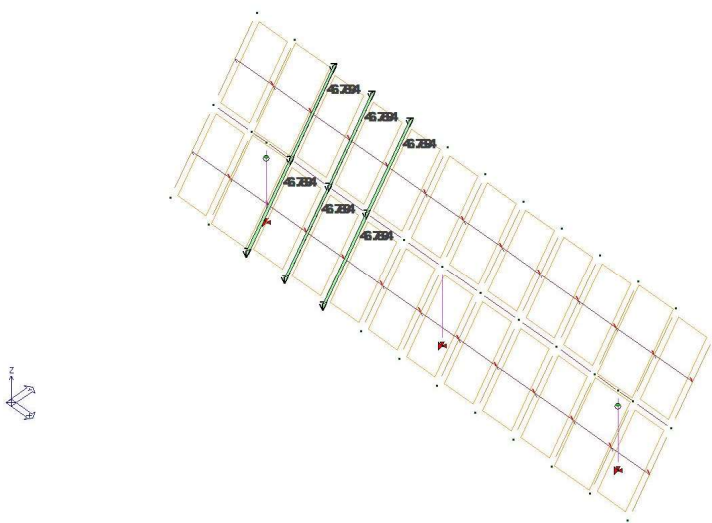




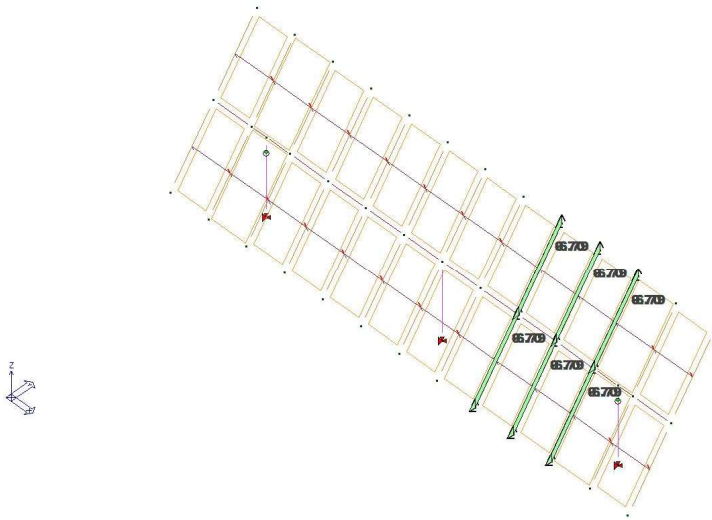
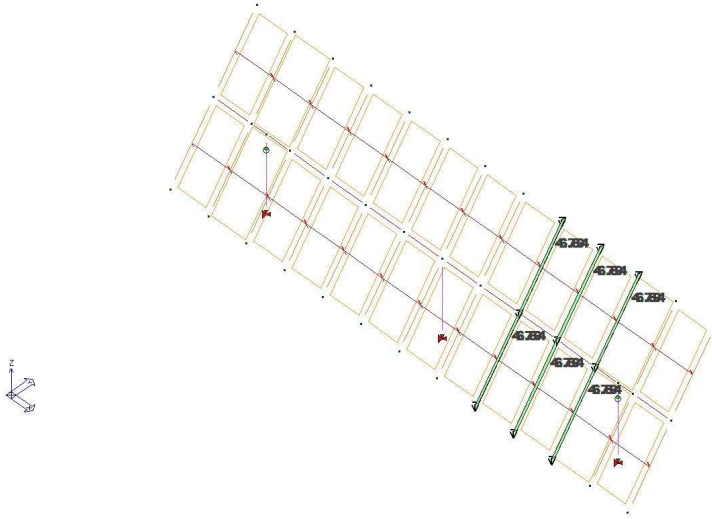
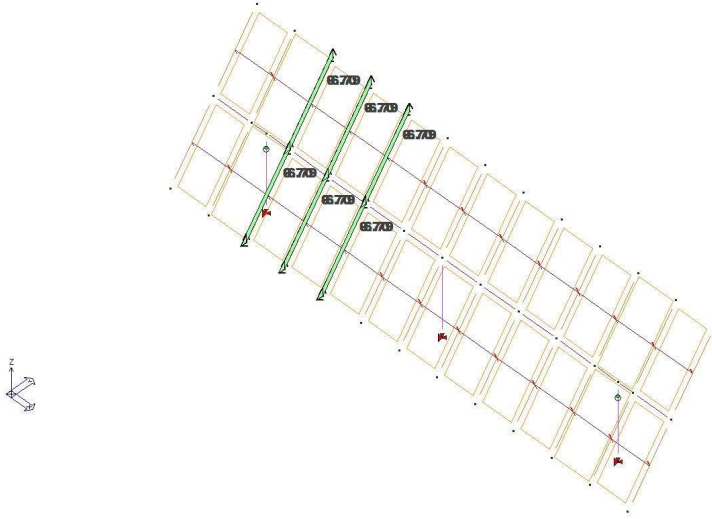
Tracker 55 gradi.PSP

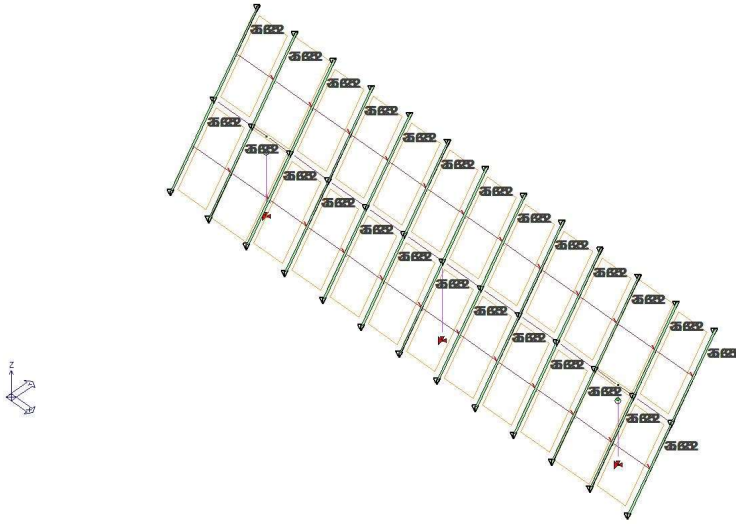


Tracker 55 gradi.PSP

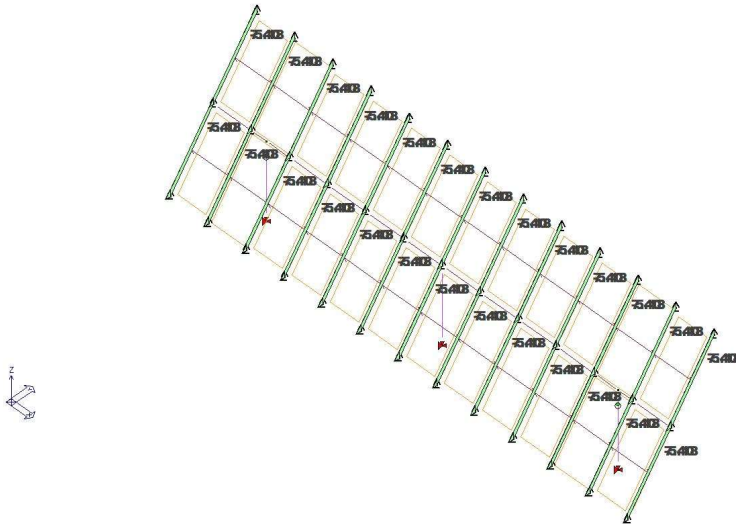


Tracker 55 gradi.PSP

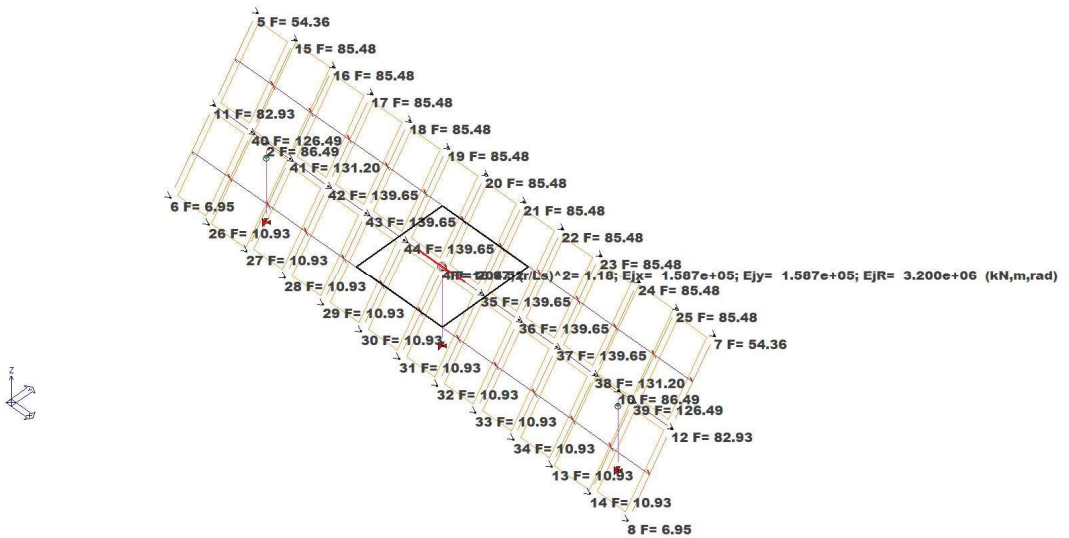




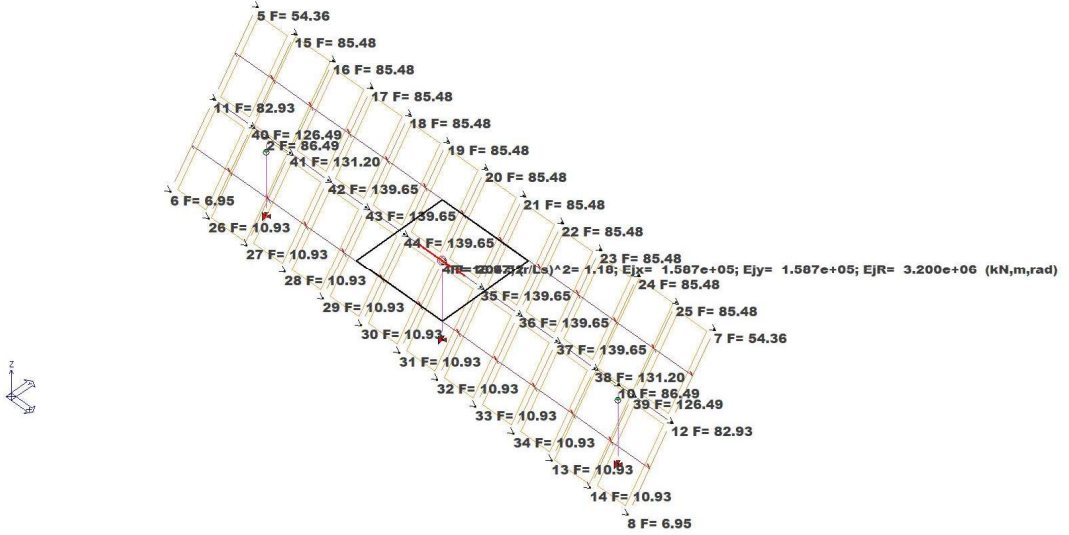
Tracker 55 gradi.PSP



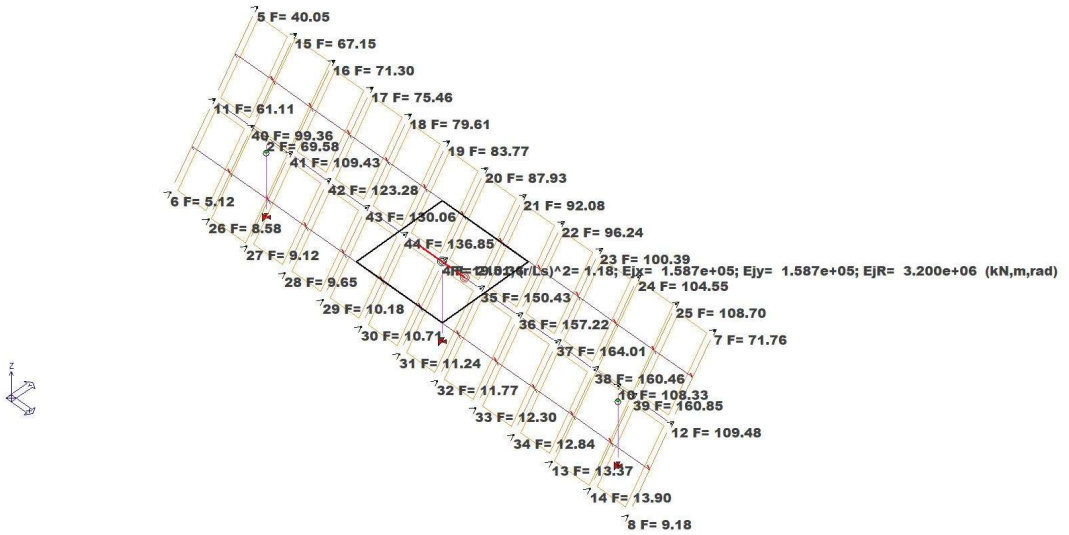
Tracker 55 gradi.PSP



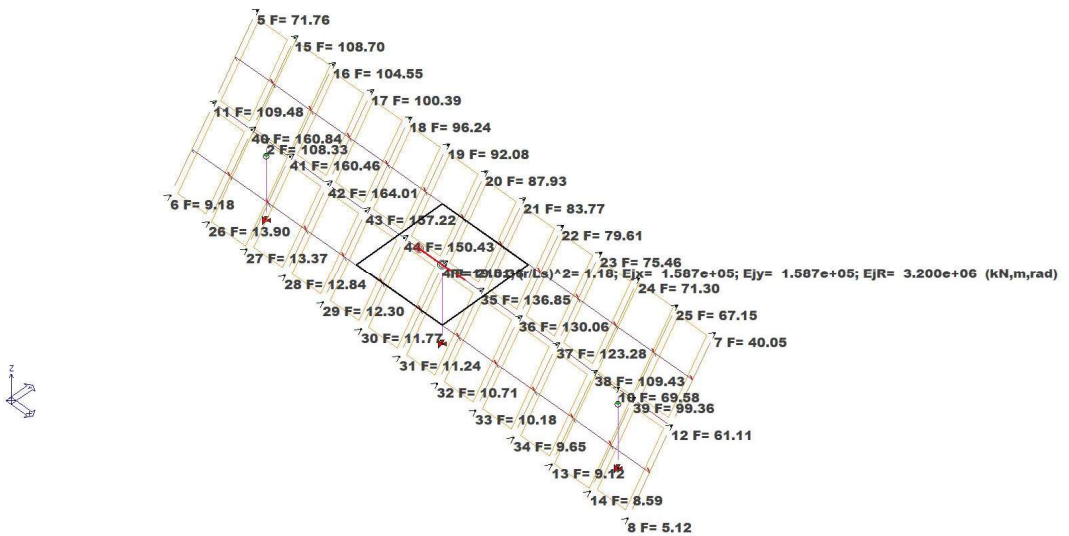
Tracker 55 gradi.PSP



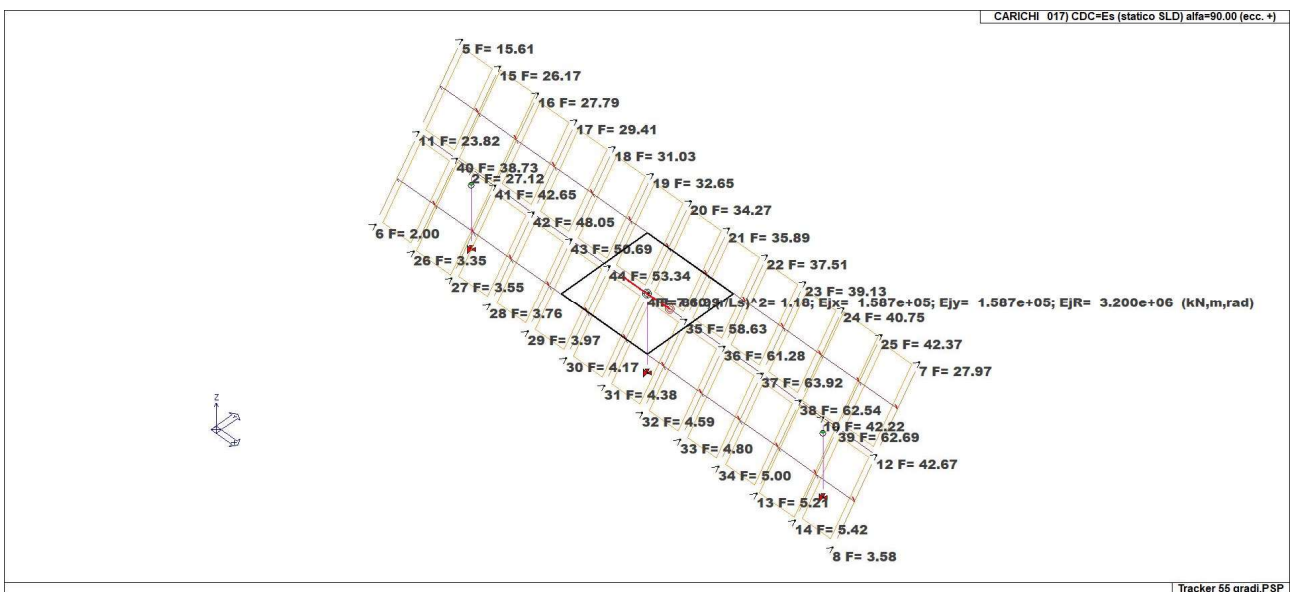
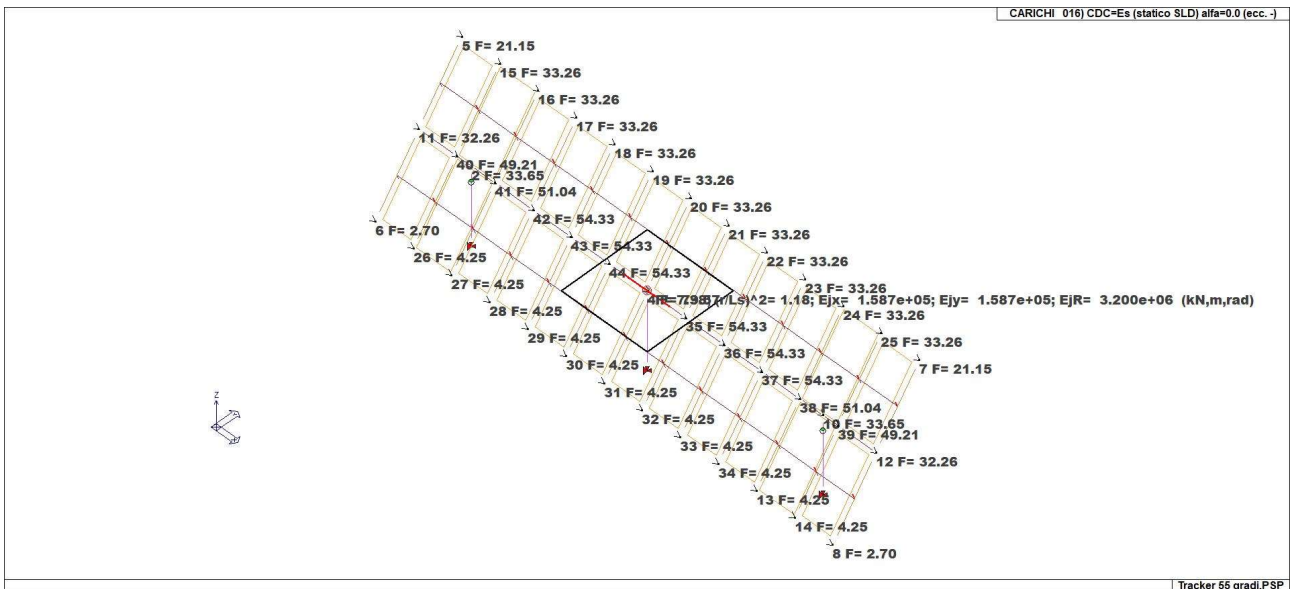
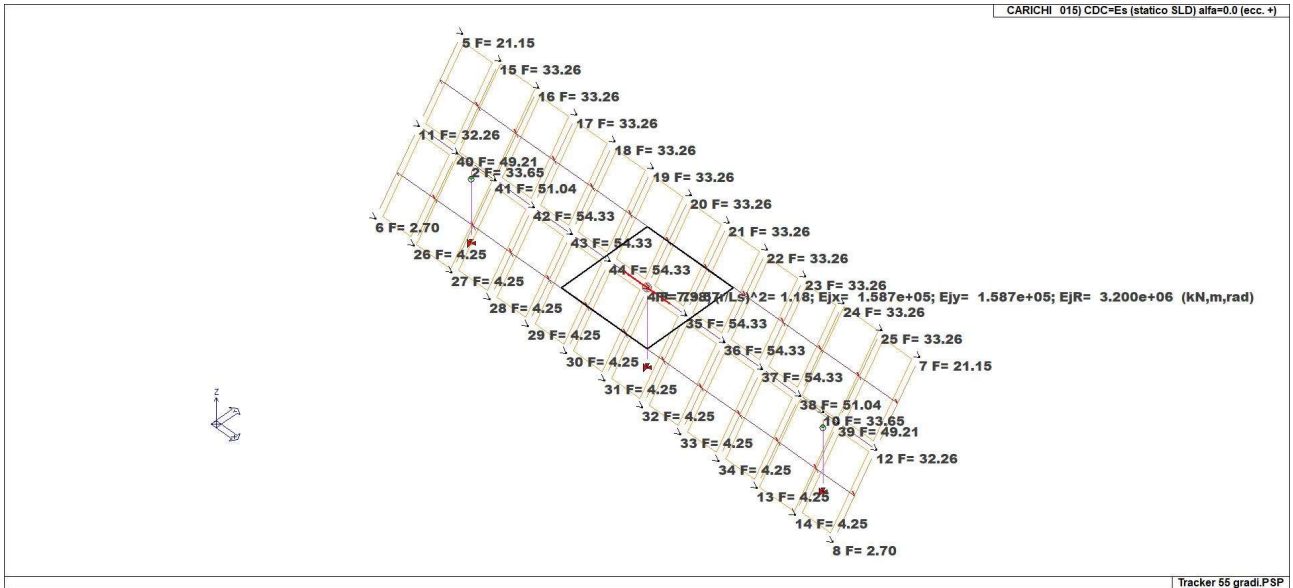
Tracker 55 gradi.PSP

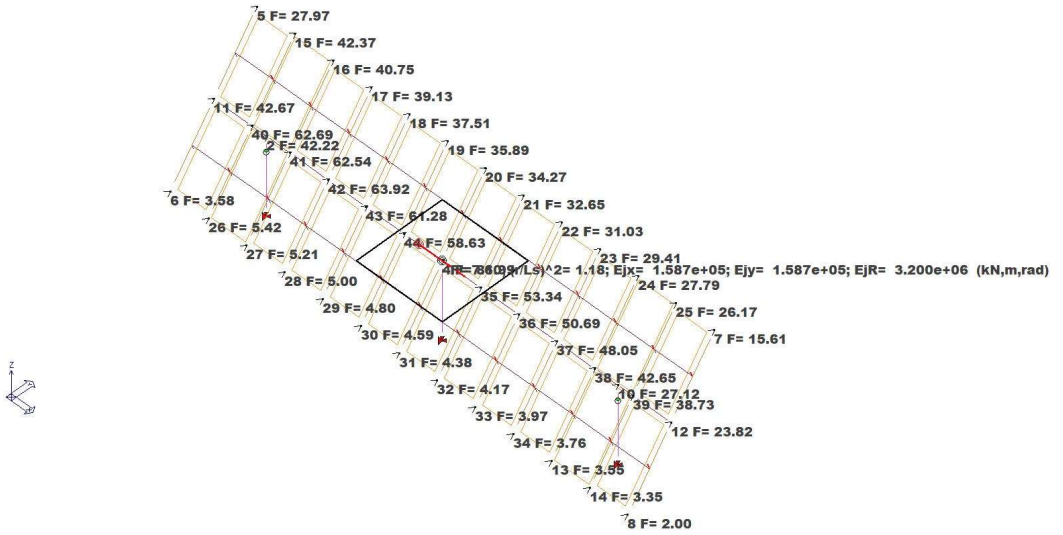


Tracker 55 gradi.PSP



Tracker 55 gradi.PSP





8. DEFINIZIONE DELLE COMBINAZIONI

Le combinazioni previste per i diversi casi di carico (CDC) seguono le regole previste dalla Normativa vigente e sono destinate al controllo di sicurezza della struttura e alla verifica degli spostamenti e delle sollecitazioni. Ai fini delle verifiche degli stati limite si definiscono le seguenti combinazioni delle azioni:

Combinazione fondamentale SLU

$$\gamma G_1 \cdot G_1 + \gamma G_2 \cdot G_2 + \gamma P \cdot P + \gamma Q_1 \cdot Q_{k1} + \gamma Q_2 \cdot \psi_{02} \cdot Q_{k2} + \gamma Q_3 \cdot \psi_{03} \cdot Q_{k3} + \dots$$

Combinazione caratteristica (rara) SLE

$$G_1 + G_2 + P + Q_{k1} + \psi_{02} \cdot Q_{k2} + \psi_{03} \cdot Q_{k3} + \dots$$

Combinazione frequente SLE

$$G_1 + G_2 + P + \psi_{11} \cdot Q_{k1} + \psi_{22} \cdot Q_{k2} + \psi_{23} \cdot Q_{k3} + \dots$$

Combinazione quasi permanente SLE

$$G_1 + G_2 + P + \psi_{21} \cdot Q_{k1} + \psi_{22} \cdot Q_{k2} + \psi_{23} \cdot Q_{k3} + \dots$$

Combinazione sismica, impiegata per gli stati limite ultimi e di esercizio connessi all'azione sismica E

$$E + G_1 + G_2 + P + \psi_{21} \cdot Q_{k1} + \psi_{22} \cdot Q_{k2} + \psi_{23} \cdot Q_{k3} + \dots$$

Combinazione eccezionale, impiegata per gli stati limite connessi alle azioni eccezionali

$$A_d + G_1 + G_2 + P + \psi_{21} \cdot Q_{k1} + \psi_{22} \cdot Q_{k2} + \psi_{23} \cdot Q_{k3} + \dots$$

Dove:

NTC 2018 Tabella 2.5.I

Destinazione d'uso/azione	Ψ_0	Ψ_1	Ψ_2
Categoria A residenziali	0,70	0,50	0,30
Categoria B uffici	0,70	0,50	0,30
Categoria C ambienti suscettibili di affollamento	0,70	0,70	0,60
Categoria D ambienti ad uso commerciale	0,70	0,70	0,60
Categoria E biblioteche, archivi, magazzini,...	1,00	0,90	0,80
Categoria F Rimesse e parcheggi (autoveicoli ≤ 30 kN)	0,70	0,70	0,60
Categoria G Rimesse e parcheggi (autoveicoli > 30 kN)	0,70	0,50	0,30
Categoria H Coperture	0,00	0,00	0,00
Vento	0,60	0,20	0,00
Neve a quota ≤ 1000 m	0,50	0,20	0,00
Neve a quota > 1000 m	0,70	0,50	0,20
Variazioni Termiche	0,60	0,50	0,00

Nelle verifiche possono essere adottati in alternativa due diversi approcci progettuali:

- per l'approccio 1 si considerano due diverse combinazioni di gruppi di coefficienti di sicurezza parziali per le azioni, per i materiali e per la resistenza globale (combinazione 1 con coefficienti A1 e combinazione 2 con coefficienti A2),
- per l'approccio 2 si definisce un'unica combinazione per le azioni, per la resistenza dei materiali e per la resistenza globale (con coefficienti A1).

NTC 2018 Tabella 2.6.I

		Coefficiente γ_F	EQU	A1	A2
Carichi permanenti	Favorevoli	γG_1	0,9	1,0	1,0
	Sfavorevoli		1,1	1,3	1,0
Carichi permanenti non strutturali (Non compiutamente definiti)	Favorevoli	γG_2	0,8	0,8	0,8
	Sfavorevoli		1,5	1,5	1,3
Carichi variabili	Favorevoli	γQ_i	0,0	0,0	0,0
	Sfavorevoli		1,5	1,5	1,3

8.1 TIPO DI ANALISI EFFETTUATE

Tipo di analisi strutturale	
Analisi per carichi non sismici	SI
Sismica statica lineare	SI
Sismica dinamica lineare	NO
Sismica statica non lineare (triangolare; G1 – a §7.3.3.2)	NO
Sismica statica non lineare (prop. modo; G1 – b §7.3.4.2)	NO
Sismica statica non lineare (prop. tagli di piano; G1 – c §7.3.4.2)	NO
Sismica statica non lineare (prop. masse; G2 – a §7.3.4.2)	NO
Sismica statica non lineare (multimod; G2 – c §7.3.4.2)	NO
Non linearità geometriche (fattore P delta)	SI

8.2 COMBINAZIONI E/O PERCORSI DI CARICO

Combinazioni dei casi di carico	
APPROCCIO PROGETTUALE	Approccio 2
SLU	SI
SLV (SLU con sisma)	SI
SLC	NO
SLD	SI
SLO	NO
SLU GEO A2 (per approccio 1)	NO
SLU EQU	NO
Combinazione caratteristica (rara)	SI
Combinazione frequente	SI
Combinazione quasi permanente (SLE)	SI
SLA (accidentale quale incendio)	NO

TABELLA_COMBINAZIONI

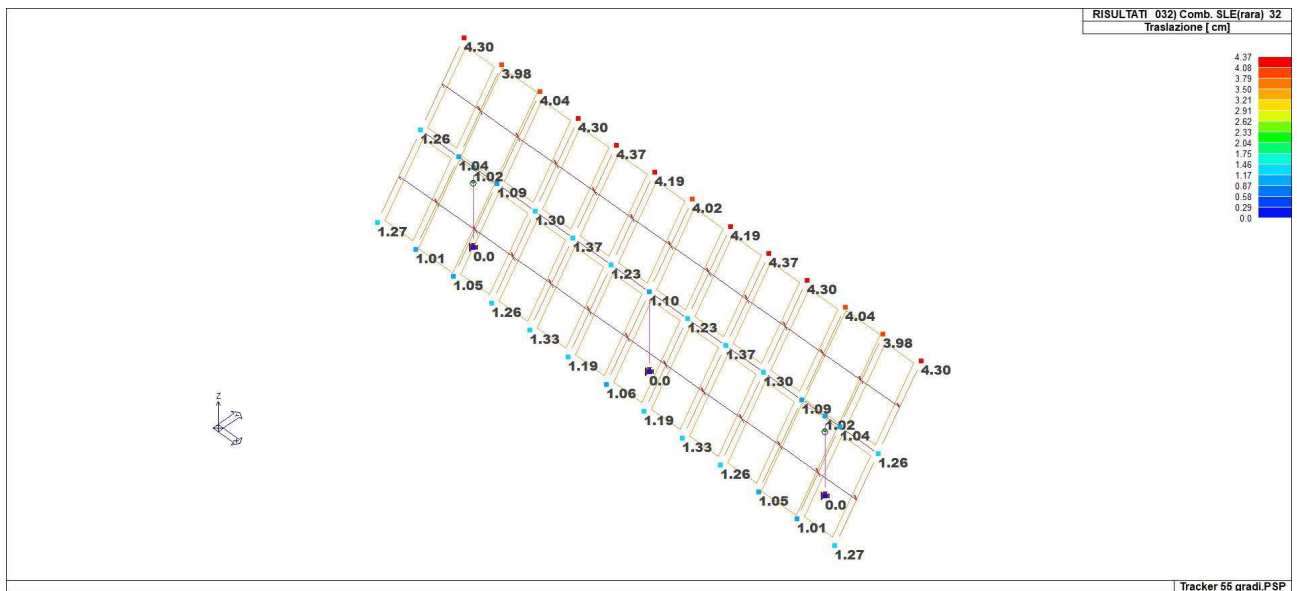
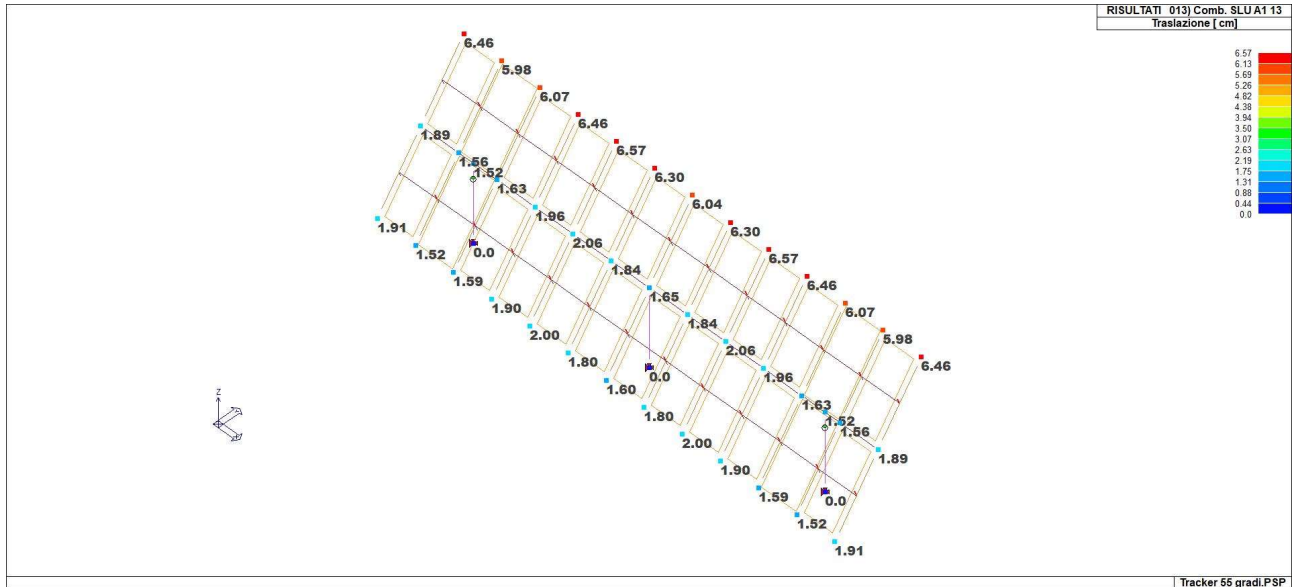
Tipo CMB	Da	Da	A	A
-	Id	Nome	Id	Nome
SLU	1	Comb. SLU A1 1	19	Comb. SLU A1 19
SLE rara	20	Comb. SLE(rara) 20	38	Comb. SLE(rara) 38
SLE frequente	39	Comb. SLE(freq.) 39	45	Comb. SLE(freq.) 45
SLE quasi permanente	46	Comb. SLE(perm.) 46		
SLV	47	Comb. SLU A1 (SLV sism.) 47	78	Comb. SLU A1 (SLV sism.) 78
SLD	79	Comb. SLE (SLD Danno sism.) 79	110	Comb. SLE (SLD Danno sism.) 110

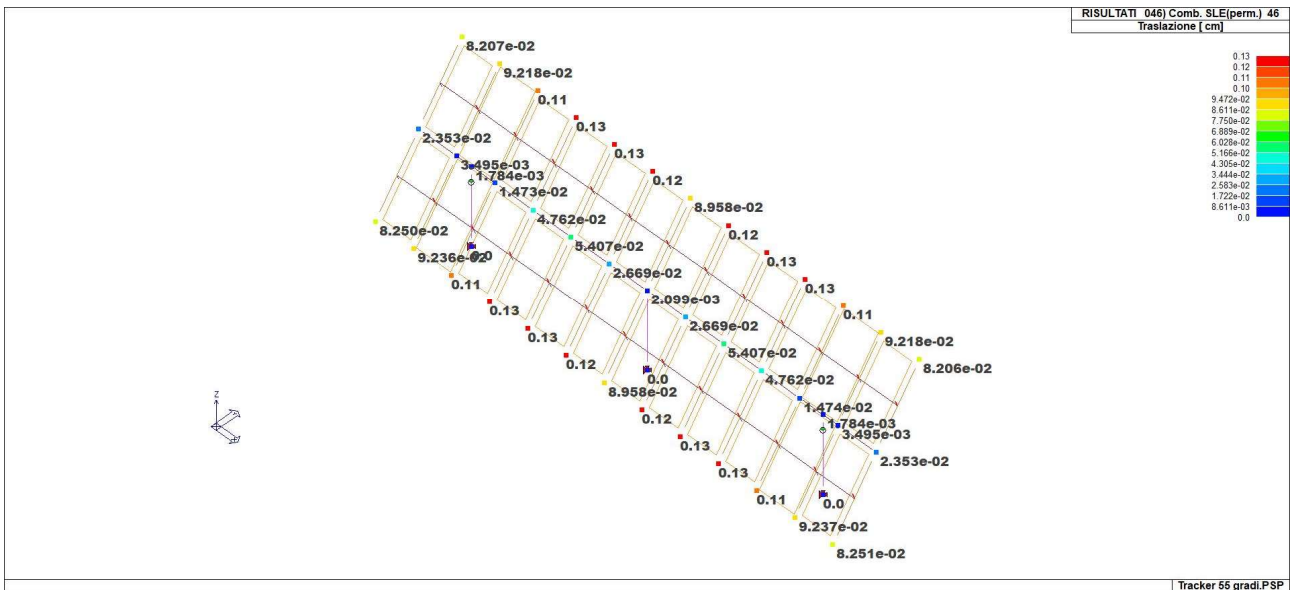
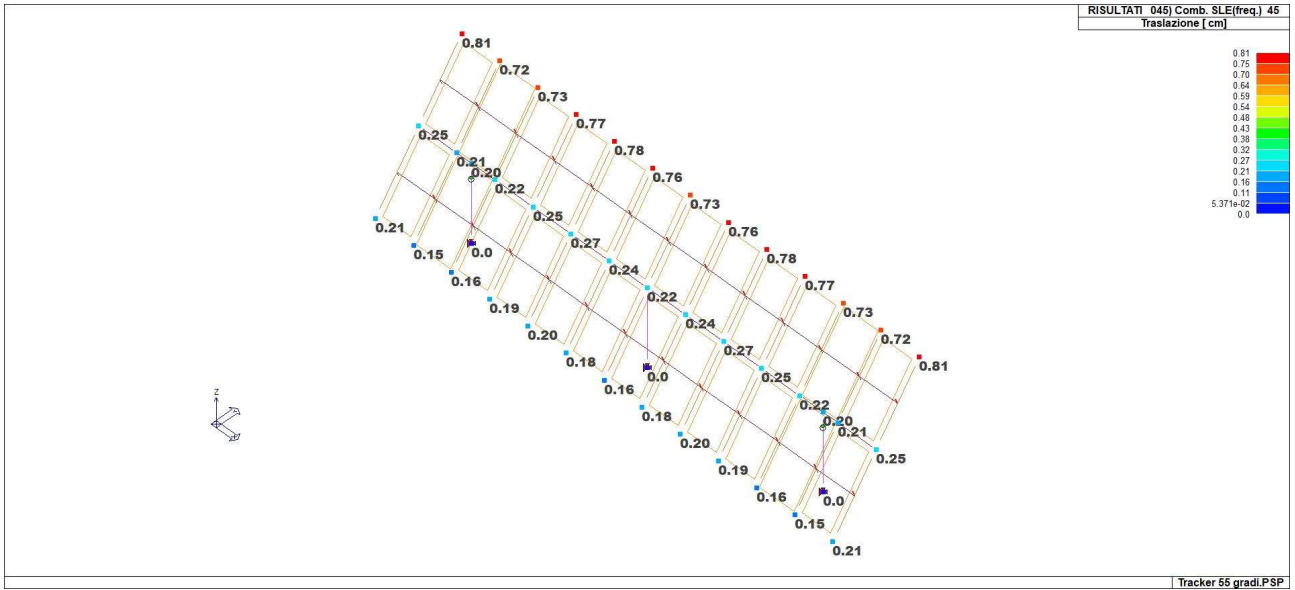
Legenda

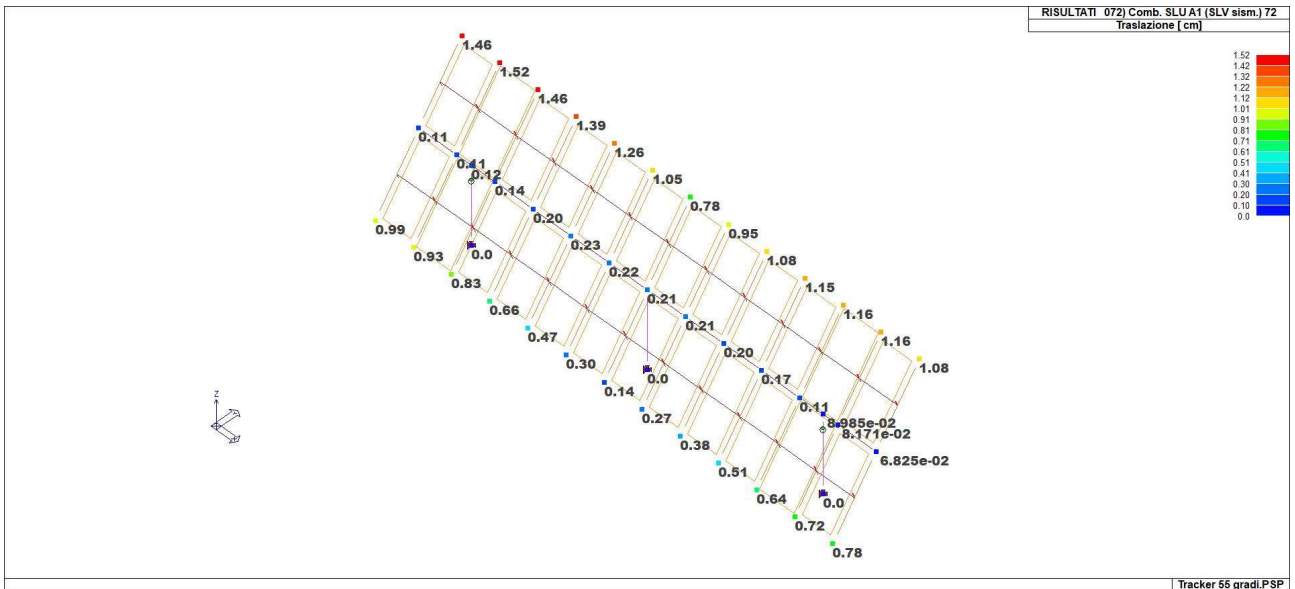
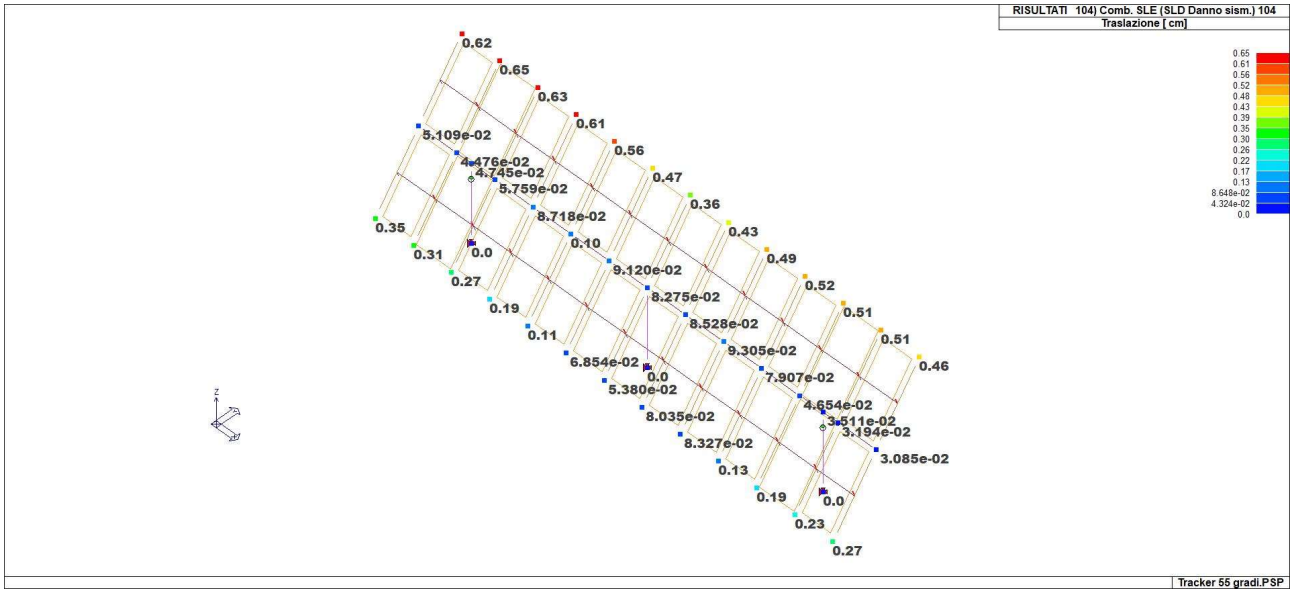
Tipo CMB Indica la categoria di combinazione

9. PRINCIPALI RISULTATI

Si riportano i valori massimi dei principali risultati ottenuti per ogni gruppo di combinazioni:

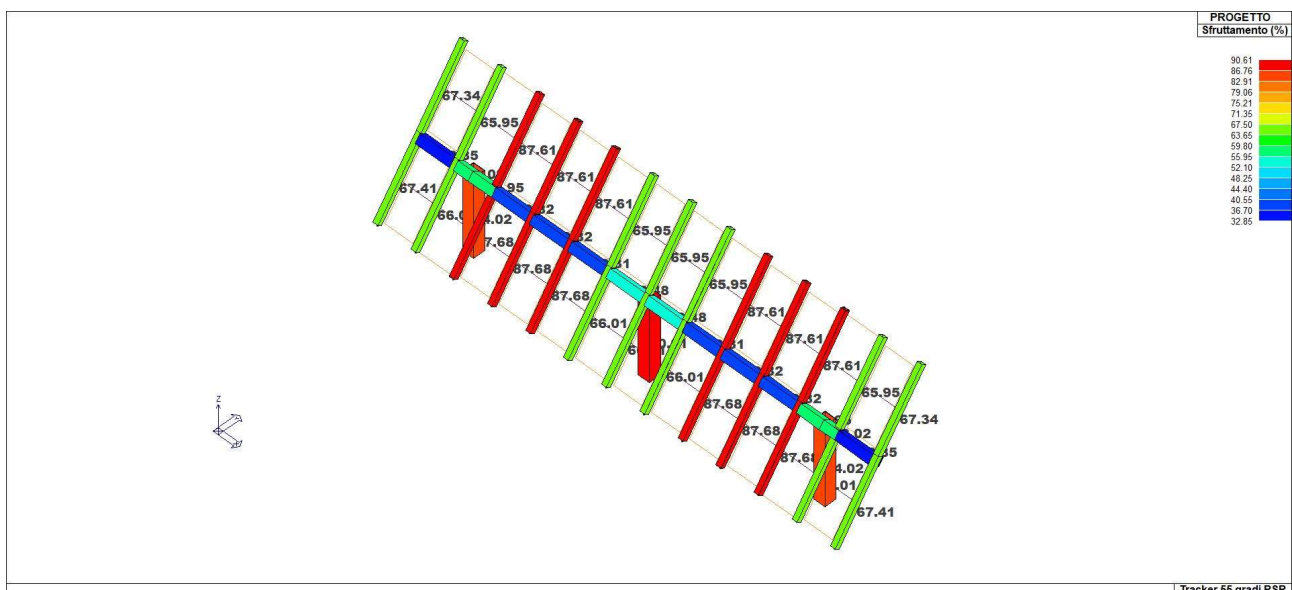
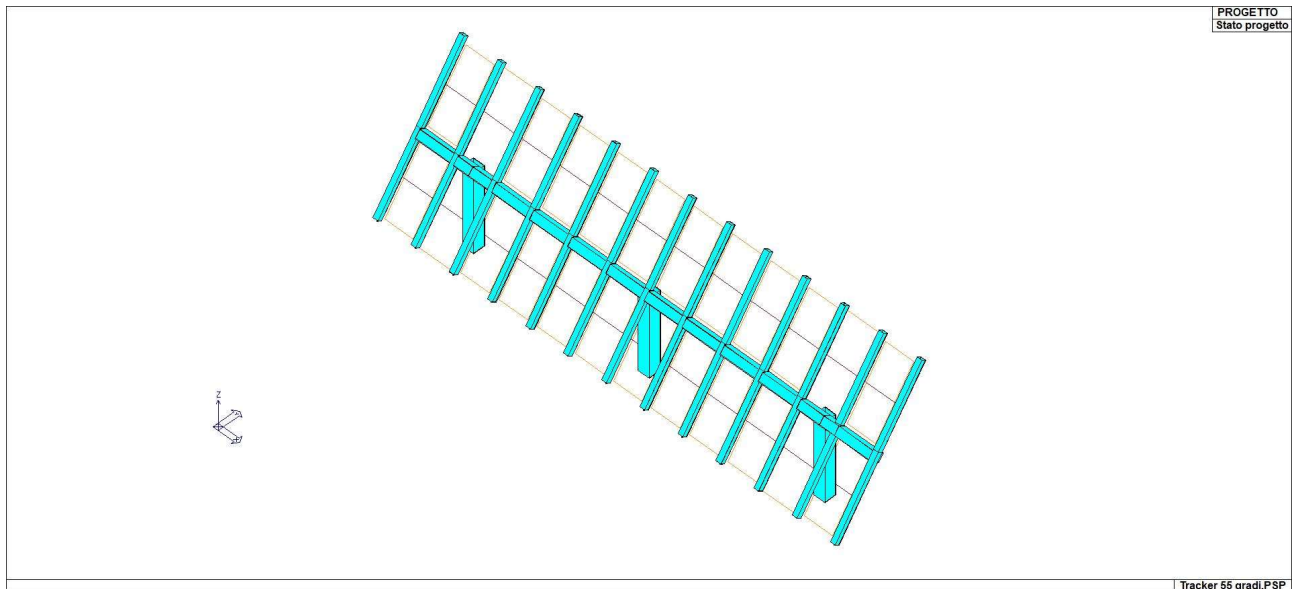






10. SINTESI DELLE VERIFICHE DI SICUREZZA

Si riportano a seguire i risultati della progettazione e delle verifiche effettuate. Gli stati di progetto *ciano* o *verde* indicano che le verifiche svolte sono interamente soddisfatte, gli stati di progetto *rossi*, al contrario, indicano che le verifiche non sono soddisfatte. Laddove possibile le verifiche sono state normalizzate. Significa che se i valori indicati in mappa sono inferiori all'unità, la verifica può ritenersi soddisfatta. Per tutte le altre verifiche i valori riportati vanno confrontati con i valori limite indicati da Normativa.



		Elementi in acciaio	
Elementi in acciaio	Valore minimo	Valore massimo	
Sfruttamento (%)	32.85	90.61	
Verif. 4.2.4.1.2 V/T	2.72e-04	0.16	
Verif. 4.2.4.1.2 N/M	5.49e-05	0.91	
Verif. 4.2.4.1.3.2 Flessione	0.0	0.86	
Verif. 4.2.4.1.3.3 Presso-fless.	0.02	0.88	
Luce libera 3-3	472.00	1432.00	
Luce libera 2-2	46.66	500.00	
Luce svergol.	46.66	250.00	

11. RELAZIONE GEOTECNICA INSEGUITORI FVT: PALO ELICA IN TRAZIONE

Normative di Riferimento

NTC2018 - Aggiornamento delle «Norme tecniche per le costruzioni» - D.M. 17 gennaio 2018

NTC2008 - Norme tecniche per le costruzioni - D.M. 14 Gennaio 2008.

CIRCOLARE 2 febbraio 2009, n. 617 - Istruzioni per l'applicazione delle 'Nuove norme tecniche per le costruzioni' di cui al decreto ministeriale 14 gennaio 2008. (GU n. 47 del 26-2-2009 - Suppl. Ordinario n.27)

Eurocodice 7: Progettazione geotecnica – Parte 1: Regole generali.

Eurocodice 8: Indicazioni progettuali per la resistenza sismica delle strutture - Parte 5: Fondazioni, strutture di contenimento ed aspetti geotecnici.

Carico limite verticale

Il carico limite verticale è stato calcolato con le formule statiche, che esprimono il medesimo in funzione della geometria del palo, delle caratteristiche del terreno e dell'interfaccia palo-terreno. A riguardo, poiché la realizzazione di un palo, sia esso infisso o trivellato, modifica sempre le caratteristiche del terreno nell'intorno dello stesso, si propone di assumere un angolo di resistenza a taglio pari a:

$$\begin{aligned}\phi' &= \frac{3}{4}\phi + 10 && \text{nei pali infissi} \\ \phi' &= \phi - 3^\circ && \text{nei pali trivellati}\end{aligned}$$

dove ϕ è l'angolo di resistenza a taglio prima dell'esecuzione del palo. Di seguito indicheremo con ϕ il parametro di resistenza scelto.

Ai fini del calcolo, il carico limite Q_{lim} viene convenzionalmente suddiviso in due aliquote, la resistenza alla punta Q_p e la resistenza laterale Q_l .

Resistenza unitaria alla punta

Formula di Terzaghi

La soluzione proposta da Terzaghi assume che il terreno esistente al disopra della profondità raggiunta dalla punta del palo possa essere sostituito da un sovraccarico equivalente pari alla tensione verticale efficace (trascurando pertanto il fatto che l'interazione tra palo e terreno di fondazione possa modificare tale valore) e riconduce l'analisi al problema di capacità portante di una fondazione superficiale.

La formula di *Terzaghi* può essere scritta:

$$Q_p = c \cdot N_c \cdot s_c + \gamma \cdot L \cdot N_q + 0.5 \cdot \gamma \cdot D \cdot N_\gamma \cdot s_\gamma$$

dove:

$$N_q = \frac{a^2}{2\cos^2(45 + \phi/2)}$$

$$a = e^{(0.75\pi - \phi/2)\tan\phi}$$

$$N_c = (N_q - 1)\cot\phi$$

$$N_\gamma = \frac{\tan\phi}{2} \left(\frac{K_{py}}{\cos^2\phi} - 1 \right)$$

Metodo di Berezantzev

Fondamentalmente *Berezantzev* fa riferimento ad una superficie di scorrimento “alla Terzaghi” che si arresta sul piano di posa (punta del palo); tuttavia egli considera che il cilindro di terreno coassiale al palo ed avente diametro pari all'estensione in sezione della superficie di scorrimento, sia in parte “sostenuto” per azione tangenziale dal rimanente terreno lungo la superficie laterale. Ne consegue un valore della pressione alla base inferiore a γD , e tanto minore quanto più questo “effetto silo” è marcato, cioè quanto più grande è il rapporto D/B ; di ciò tiene conto il coefficiente N_q , che quindi è funzione decrescente di D/B .

La resistenza unitaria Q_p alla punta, per il caso di terreno dotato di attrito (ϕ) e di coesione (c), è data dall'espressione:

$$Q_p = c \cdot N_c + \gamma \cdot L \cdot N_q$$

Avendo indicato con:

- γ peso unità di volume del terreno;
- L lunghezza del palo;
- N_c e N_q sono i fattori di capacità portante già comprensivi dell'effetto forma (circolare);

Metodo di Vesic

Vesic ha assimilato il problema della rottura intorno alla punta del palo a quello di espansione di una cavità cilindrica in mezzo elasto-plastico, in modo da tener conto anche della compressibilità del mezzo.

Secondo *Vesic* i coefficienti di capacità portante N_q e N_c si possono calcolare come segue:

$$N_q = \frac{3}{3 - \sin \phi} \left\{ \exp \left[\left(\frac{\pi}{2} - \phi \right) \tan \phi \right] \tan^2 \left(45 + \frac{\phi}{2} \right) I_{rr}^{(4 \sin \phi) / [3(1 + \sin \phi)]} \right\}$$

L'indice di rigidezza ridotto I_{rr} nella precedente espressione viene calcolato a partire dalla deformazione volumetrica ϵ_v .

L'indice di rigidezza I_r si calcola utilizzando il modulo di elasticità tangenziale G' e la resistenza a taglio s del terreno.

Quando si hanno condizioni non drenate o il suolo si trova in uno stato addensato, il termine ϵ_v può essere assunto pari a zero e si ottiene $I_{rr} = I_r$.

E' possibile fare una stima di I_r con i valori seguenti:

TERRENO	I_r
Sabbia	75-150
Limo	50-75
Argilla	150-250

Il termine N_c della capacità portante viene calcolato:

$$N_c = (N_q - 1) \cot \phi \quad (a)$$

Quando $\phi = 0$ (condizioni non drenate)

$$N_c = \frac{4}{3} (\ln I_{rr} + 1) + \frac{\pi}{2} + 1$$

Metodo di Janbu

Janbu calcola N_q (con l'angolo ψ espresso in radianti) come segue:

$$N_q = \left(\tan \phi + \sqrt{1 + \tan^2 \phi} \right)^2 \exp(2\psi \tan \phi)$$

N_c si può ricavare dalla (a) quando $\phi > 0$.

Per $\phi = 0$ si usa $N_c = 5.74$

Formula di Hansen

La formula di Hansen vale per qualsiasi rapporto D/B , quindi sia per fondazioni superficiali che profonde, ma lo stesso autore introdusse dei coefficienti per meglio interpretare il comportamento reale della fondazione, senza di essi, infatti, si avrebbe un aumento troppo forte del carico limite con la profondità.

Per valori $L/D > 1$:

$$d_c = 1 + 0.4 \tan^{-1} \frac{L}{D}$$

$$d_q = 1 + 2 \tan \phi (1 - \sin \phi)^2 \tan^{-1} \frac{L}{D}$$

Nel caso $\phi = 0$

D/B	0	1	1.1	2	5	10	20	100
d'_c	0	0.40	0.33	0.44	0.55	0.59	0.61	0.62

Nei fattori seguenti le espressioni con apici (') valgono quando $\phi = 0$.

Fattore di forma:

$$s'_c = 0.2 \cdot \frac{D}{L}$$

$$s_c = 1 + \frac{N_q}{N_c} \cdot \frac{D}{L}$$

$$s_q = 1 + \frac{D}{L} \cdot \tan \phi$$

$$s_q = 1 + \frac{D}{L} \cdot \tan \phi$$

$$s_\gamma = 1 - 0.4 \cdot \frac{D}{L}$$

Fattore di profondità:

$$d'_c = 0.4 \cdot k$$

$$d_c = 1 + 0.4k$$

$$d_q = 1 + 2 \tan \phi \cdot (1 - \sin \phi) \cdot k$$

$$d_\gamma = 1 \text{ per qualsiasi } k$$

$$k = \tan^{-1} \frac{L}{D} \text{ se } \frac{L}{D} > 1$$

Resistenza del fusto

Il metodo utilizzato per il calcolo della capacità portante laterale è il metodo α , proposto da Tomlinson (1971); la resistenza laterale viene calcolata nel seguente modo:

$$Q_1 = (\alpha c + \sigma K \tan \delta) \cdot A_l \cdot f_w$$

A_l = superficie laterale del palo;

f_w = fattore di correzione legato alla tronco-conicità del palo, ossia la diminuzione percentuale del diametro del palo con

c = valore medio della coesione (o della resistenza a taglio in condizioni non drenate);

σ = pressione verticale efficace del terreno;

K = coefficiente di spinta orizzontale, dipendente dalla tecnologia di esecuzione del palo e dal precedente stato di addensamento, viene calcolato come segue:

Per pali infissi

$$K = 1 - \tan^2\phi$$

o, nel caso specifico, è possibile assegnare i seguenti valori proposti in tabella:

Palo	K	
	Terreno sciolto	Terreno denso
Acciaio	0.5	1
Calcestr. Pref.	1	2
Legno	1	3

Per pali trivellati

$$K = 1 - \sin\phi$$

δ = attrito palo-terreno funzione della scabrezza della superficie del palo;

Per pali infissi

$$\delta = 3/4 \tan\phi$$

Per pali trivellati

$$\delta = \tan\phi$$

α = coefficiente d'adesione ricavato come di seguito riportato:

Pali trivellati:

Caquot - Kerisel
$$\alpha = \frac{100 + c^2}{100 + 7c^2}$$

Meyerhof - Murdock (1963)
$$\alpha = 1 - 0.1 \cdot c \text{ per } c < 5 \text{ t/m}^2$$

$$\alpha = 0.525 - 0.005 \cdot c \text{ per } c \geq 5 \text{ t/m}^2$$

Whitaker - Cooke (1966)
$$\alpha = 0.9 \text{ per } c < 2.5 \text{ t/m}^2$$

$$\alpha = 0.8 \text{ per } 2.5 \leq c < 5 \text{ t/m}^2$$

$$\alpha = 0.6 \text{ per } 5 \leq c \leq 7.5 \text{ t/m}^2$$

$$\alpha = 0.9 \text{ per } c > 7.5 \text{ t/m}^2$$

Woodward (1961)
$$\alpha = 0.9 \text{ per } c < 4 \text{ t/m}^2$$

$$\alpha = 0.6 \text{ per } 4 \leq c < 8 \text{ t/m}^2$$

$$\alpha = 0.5 \text{ per } 8 \leq c < 12 \text{ t/m}^2$$

$$\alpha = 0.4 \text{ per } 12 \leq c \leq 20 \text{ t/m}^2$$

$$\alpha = 0.20 \text{ per } c > 20 \text{ t/m}^2$$

Pali infissi

Coefficiente α per palo infisso	
$2.5 \leq c < 5 \text{ t/m}^2$	$\alpha = 1.00$
$5 \leq c < 10$	$\alpha = 0.70$
$10 \leq c < 15$	$\alpha = 0.50$
$15 \leq c < 20$	$\alpha = 0.40$
$c \geq 20$	$\alpha = 0.30$

Attrito negativo

Quando un palo viene infisso o passa attraverso uno strato di materiale compressibile prima che si sia esaurito il processo di consolidazione, il terreno si muoverà rispetto al palo facendo insorgere sforzi attritivi tra palo e terreno che inducono al cosiddetto fenomeno dell'attrito negativo. L'effetto dell'attrito negativo è quello di aumentare il carico assiale sul palo, con conseguente aumento del cedimento, dovuto all'accorciamento elastico del palo stesso per effetto dell'aumento di carico. La forza che nasce per effetto dell'attrito negativo è stimata pari alla componente attritiva della resistenza laterale (vedi Resistenza del fusto) lungo la superficie laterale a contatto con lo strato in cui si genera tale fenomeno, ma di verso opposto all'attrito positivo. La risultante così determinata non viene detratta dal carico limite, ma da quello di esercizio.

Fattore di correzione in condizioni sismiche

Criterio di Vesic

Secondo questo autore per tenere conto del fenomeno della dilatanza nel calcolo della capacità portante è sufficiente diminuire di 2° l'angolo d'attrito degli strati di fondazione. Il limite di questo suggerimento è nel fatto che non tiene conto dell'intensità della sollecitazione sismica (espressa attraverso il parametro dell'accelerazione sismica orizzontale massima). Questo criterio pare però trovare conferma nelle osservazioni fatte in occasione di diversi eventi sismici.

Criterio di Sano

L'autore propone di diminuire l'angolo d'attrito degli strati portanti di una quantità data dalla relazione:

$$D_p = \arctg\left(\frac{a_{max}}{\sqrt{2}}\right)$$

dove a_{max} è l'accelerazione sismica orizzontale massima.

Questo criterio, rispetto a quello di *Vesic*, ha il vantaggio di prendere in considerazione anche l'intensità della sollecitazione sismica. L'esperienza però dimostra che l'applicazione acritica di questa relazione può condurre a valori eccessivamente cautelativi di *Qlim*.

Le correzioni di *Sano* e di *Vesic* si applicano esclusivamente a terreni incoerenti ben addensati. È errato applicarle a terreni sciolti o mediamente addensati, dove le vibrazioni sismiche producono il fenomeno opposto a quello della dilatanza, con aumento del grado di addensamento e dell'angolo d'attrito.

Cedimenti metodo di Davis-Poulos

Il cedimento verticale è stato calcolato con il metodo di *Davis-Poulos*, secondo il quale il palo viene considerato rigido (indeformabile) immerso in un mezzo elastico, semispazio o strato di spessore finito.

Si ipotizza che l'interazione palo-terreno sia costante a tratti lungo n superfici cilindriche in cui viene suddivisa la superficie laterale del palo.

Il cedimento della generica superficie i per effetto del carico trasmesso dal palo al terreno lungo la superficie j -esima può essere espresso:

$$W_{i,j} = (\tau_j / E) \cdot B \cdot I_{i,j}$$

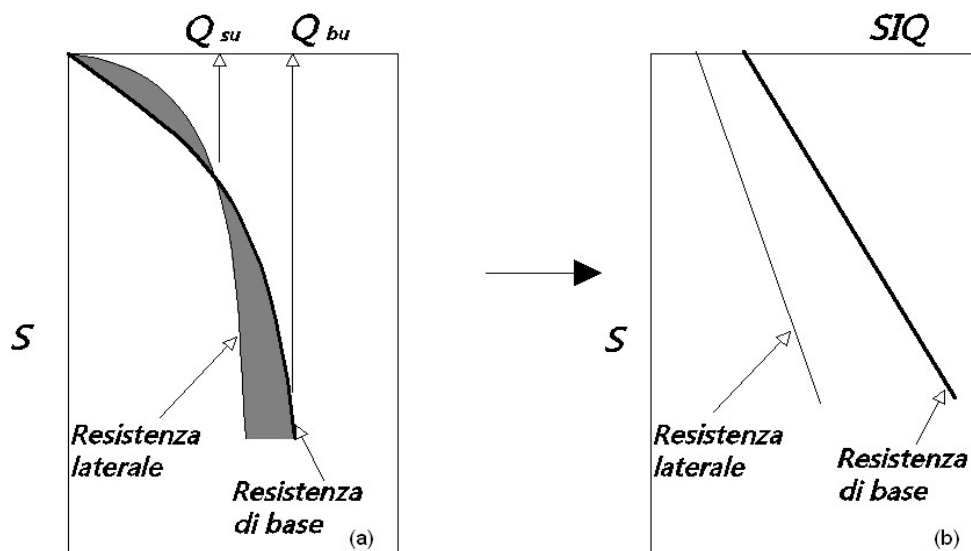
Avendo indicato con:

- τ_j = Incremento di tensione relativo al punto medio della striscia
- E = Modulo elastico del terreno
- B = Diametro del palo
- $I_{i,j}$ = Coefficiente di influenza

Il cedimento complessivo si ottiene sommando $W_{i,j}$ per tutte le j aree

Cedimento Metodo Iperbolico

Il metodo iperbolico modificato rappresenta uno sviluppo dello studio di Chin (1970,1972,1983) che consente di stimare il cedimento di pali singoli partendo dall'idea che il diagramma carico-cedimento, per il corpo di un palo e la sua base, abbia un andamento iperbolico. I valori del *carico ultimo laterale* (Q_{su}) e la *resistenza di base ultima* (Q_{bu}) rappresentano i termini asintotici della curva (figura a) (Terzaghi, 1943). Sotto queste ipotesi è possibile giungere ad una rappresentazione linearizzata del problema considerando la variazione della quantità S/Q rispetto allo spostamento S (figura b).



Grafici cedimento iperbolico (a) e linearizzato (b).

Grafici cedimento iperbolico (a) e linearizzato (b)

Lo studio di Fleming ha dimostrato che gli spostamenti totali stimati col metodo di Chin erano distorti dall'accorciamento elastico del corpo del palo e suggerì una tecnica semplificata per la quale la deformazione elastica del palo può essere determinata, con sufficiente accuratezza, sottraendo alla stima di Chin l'accorciamento del palo.

Considerando lo schema in figura l'accorciamento elastico del palo dipende dal carico applicato Q in rapporto all'attrito laterale ultimo Q_{su} . In particolare se $Q \leq Q_{su}$ la deformazione elastica del corpo del palo corrisponde alla somma dell'accorciamento elastico lungo la zona ad attrito basso o nullo e quello che si sviluppa lungo la parte attiva del fusto:

$$S_e = \frac{4Q(L_o + K_s L_a)}{\pi d_s^2 E_c}$$

Se, invece, si ha che $Q > Q_{su}$ bisogna considerare un ulteriore accorciamento legato alla parte attiva del palo che deve essere aggiunta alla deformazione elastica:

$$S_s = \frac{4}{\pi d_s^2 E_c} [Q(L_o + L_a) - L_a Q_{su}(1 - k_s)]$$

I parametri della formula sono:

- d_s : diametro testa del palo.
- E_c : modulo di elasticità del materiale del palo il cui valore può essere ricavato da una interpolazione lineare tra i valori di $E_c=26 \cdot 10^6$ kN/m² per calcestruzzo con forza specifica di 20 N/mm² e il valore di $E_c=40 \cdot 10^6$ kN/m² per calcestruzzo da 40 N/mm².
- L_o : lunghezza del palo ad attrito basso o nullo.
- L_a : lunghezza attiva del palo.
- k_s : rapporto della lunghezza equivalente del fusto del palo rispetto alla lunghezza attiva L_a . Si può considerare un valore di 0.5 quando si ha un attrito che si sviluppa uniformemente lungo L_a oppure quando il palo è inserito in sabbia o ghiaia. Per pali in argilla caratterizzati da uno sforzo che cresce in profondità si può usare un valore di 0.45.

Lo spostamento del *palo rigido* può essere calcolato sapendo che la somma dell'attrito laterale e della resistenza di base corrisponde al carico totale applicato alla testa del palo.

$$Q = Q_s + Q_b$$

Considerando il palo rigido lo spostamento totale in testa è uguale a quello che si ottiene lungo il fusto ed è uguale a quello misurato alla base del palo:

$$S_t = S_s = S_b$$

Dal grafico linearizzato si può vedere che lo spostamento lungo il fusto del palo può essere calcolato come:

$$S_s = \frac{M_s d_s Q_s}{Q_{su} - Q_s}$$

In cui

- M_s : fattore adimensionale di flessibilità terreno/fusto.
- d_s : diametro testa.
- Q_s : attrito.
- Q_{su} : attrito ultimo determinato col metodo statico (condizione drenata)

L'equazione dello spostamento alla base del palo ricavata da Fleming è:

$$S_b = \frac{0.6 Q_{bu} Q_b}{d_b E_b (Q_{bu} - Q_b)}$$

dove

- d_b : diametro della base del palo.
- Q_b : resistenza alla base.
- Q_{bu} : resistenza ultima alla base
- E_b : modulo di taglio corrispondente a $Q_{bu}/4$

Infine, ponendo la condizione di uguaglianza $S_s=S_b$ e considerando il carico totale applicato Q si ottiene lo spostamento totale di un palo rigido considerando solo i valori positivi della relazione:

$$S_t = \frac{-g \pm \sqrt{g^2 - 4fh}}{2f}$$

In cui le variabili sono così definite:

- $f = \eta(Q - \alpha) - \beta$
- $g = Q(\delta + \lambda\eta) - \alpha\delta - \beta\lambda$
- $h = \lambda\delta Q$
- $\alpha = Q_{su}$
- $\beta = d_b E_b Q_{bu}$
- $\lambda = M_s d_s$
- $\delta = 0.6 Q_{bu}$
- $\eta = d_b E_b$

Lo spostamento complessivo del palo comprende la componente di spostamento rigido e quella di accorciamento elastico.

Il modulo elastico del terreno E_b al di sotto della base del palo è legato alle caratteristiche del terreno ed è fortemente influenzato dalla tecnica di costruzione del palo. Fleming sostiene che è consigliabile che questo parametro di progetto sia determinato da un insieme accurato di prove in cui i pali sono caricati fino al punto in cui viene mobilitata una sostanziale quota della resistenza di punta. In mancanza di questi dati si può scegliere, cautelativamente, il valore di E_b da range di valori relativi al tipo di terreno e alla tecnica di costruzione del palo.

CARICO LIMITE ORIZZONTALE

Il carico limite orizzontale è stato calcolato secondo la teoria sviluppata da Broms il quale assume che il comportamento dell'interfaccia palo-terreno sia di tipo rigido perfettamente plastico, e cioè che la resistenza del terreno si mobilita interamente per un qualsiasi valore non nullo dello spostamento a rimanga costante al crescere dello spostamento stesso. Si assume che il comportamento flessionale del palo sia di tipo rigido-perfettamente plastico, vale a dire che le rotazioni elastiche del palo sono trascurabili finché il momento flettente non raggiunge il valore M_Y di plasticizzazione.

Per i terreni coesivi Broms propone di adottare una reazione del terreno costante con la profondità pari a:

$$p = 9 \cdot c_u \cdot B$$

con reazione nulla fino alla profondità di 1.5 d; avendo indicato con:

c_u = Coesione non drenata,

B = Diametro del palo

p = Reazione del terreno per unità di lunghezza del palo.

Per i terreni incoerenti si assume che la resistenza vari linearmente con la profondità secondo la legge:

$$p = 3K_p \gamma z \cdot B$$

avendo indicato con:

p = Reazione del terreno per unità di lunghezza del palo;

K_p = Coefficiente di spinta passiva;

γ = Peso unità di volume del terreno;

z = Profondità;

B = Diametro del palo.

Palo in condizioni d'esercizio

Analisi del palo in condizioni di esercizio: **Metodo degli elementi finiti.**

Il metodo degli elementi finiti modella il palo di fondazione, sottoposto a carichi trasversali, in modo realistico in quanto fa uso sia degli spostamenti che delle rotazioni ai nodi per definire la linea elastica del palo, pertanto rappresenta il metodo più razionale ed efficace attualmente disponibile per analizzare questo tipo di strutture.

Di seguito si richiamano i fondamenti teorici del metodo indicando con **P** la matrice delle forze nodali esterne, con **F** quella delle forze interne e con **A** la matrice dei coefficienti di influenza che, per l'equilibrio tra forze esterne ed interne, lega le prime due secondo la ben nota forma:

$$\mathbf{P} = \mathbf{A}\mathbf{F}$$

Gli spostamenti interni **e** (traslazioni e rotazioni) dell'elemento nel generico nodo sono legati agli spostamenti esterni **X** (traslazioni e rotazioni) applicati ai nodi, dalla seguente relazione:

$$\mathbf{e} = \mathbf{B}\mathbf{X}$$

dove la matrice **B** è dimostrato essere la trasposta della matrice **A**.

D'altra parte, le forze interne **F** sono legate agli spostamenti interni **e** dalla seguente espressione:

$$\mathbf{F} = \mathbf{S}\mathbf{e}$$

Applicando le consuete sostituzioni, si ottiene:

$$\mathbf{F} = \mathbf{S}\mathbf{A}^T\mathbf{X}$$

e quindi

$$\mathbf{P} = \mathbf{A}\mathbf{F} = \mathbf{A}\mathbf{S}\mathbf{A}^T\mathbf{X}$$

Pertanto, calcolando l'inversa della matrice $\mathbf{A}\mathbf{S}\mathbf{A}^T$ si ricava l'espressione degli spostamenti esterni **X**:

$$\mathbf{X} = (\mathbf{A}\mathbf{S}\mathbf{A}^T)^{-1}\mathbf{P}$$

Noti, quindi, gli spostamenti **X** è possibile ricavare le forze interne **F** necessarie per il progetto della struttura.

La matrice $\mathbf{A}\mathbf{S}\mathbf{A}^T$ è nota come matrice di rigidezza globale in quanto caratterizza il legame tra spostamenti e forze esterni nodali.

Il metodo ad elementi finiti ha, tra l'altro, il vantaggio di consentire di mettere in conto, come condizioni al contorno, rotazioni e spostamenti noti.

Le reazioni nodali delle molle che schematizzano il terreno vengono considerate come forze globali legate al modulo di reazione e all'area d'influenza del nodo. Nella soluzione ad elementi finiti per pali soggetti a carichi trasversali, il modulo di reazione viene considerato nella forma:

$$k_s = A_s + B_s Z^n$$

o, non volendo far crescere illimitatamente il k_s con la profondità, nella forma:

$$k_s = A_s + B_s \tan^{-1}(Z/B)$$

nella quale **Z** è la profondità e **B** è il diametro del palo.

I valori di A_s e $B_s Z^n$ sono ottenuti dall'espressione della capacità portante (Bowles) con fattori correttivi s_i , d_i , e i_i pari a 1:

$$k_s = q_{ult}/\Delta H = C(cN_c + 0.5\gamma B N_\gamma)$$

$$B_s Z^n = C(\gamma N_q Z^1)$$

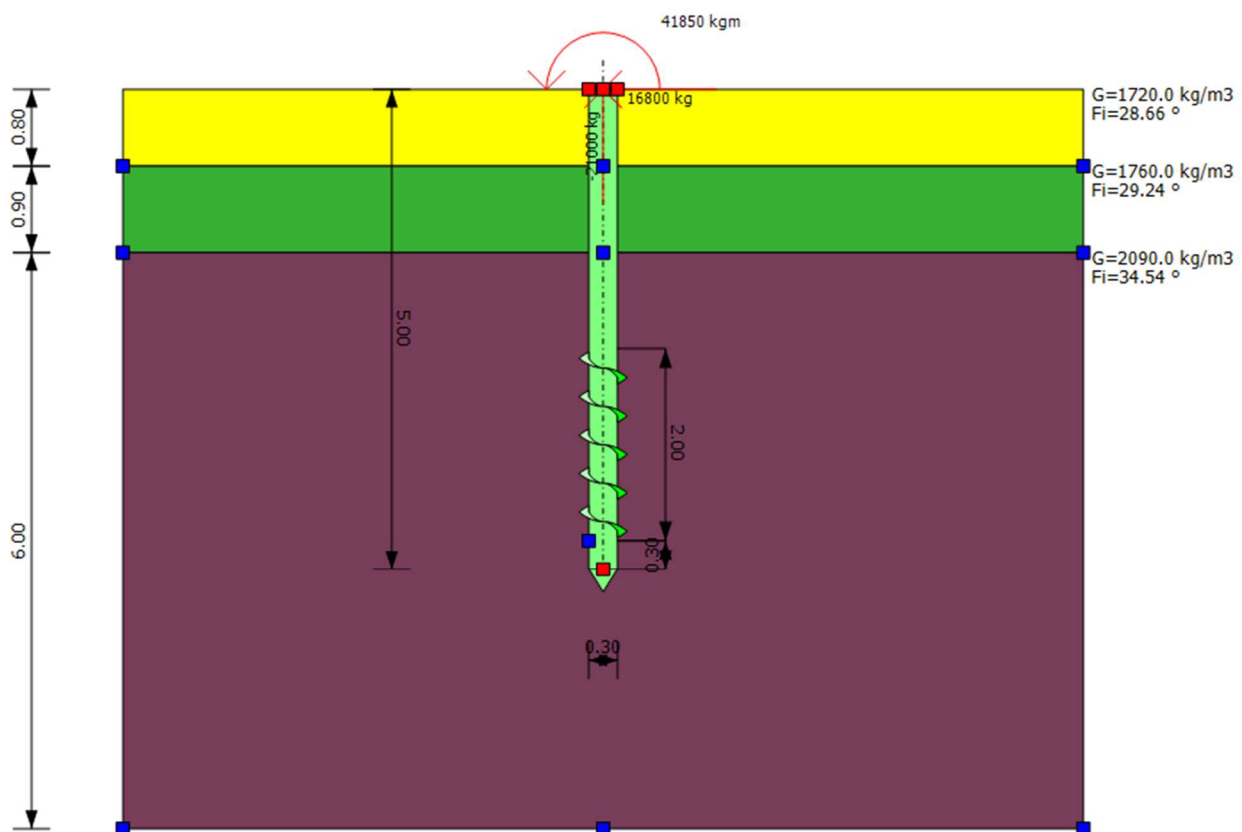
Dove $C = 40$ è ottenuto in corrispondenza di un cedimento massimo di 25 mm.

Momenti cinematici

In presenza dell'azione sismica la risposta del palo è il risultato di una complessa interazione terreno-palo, resa di difficile interpretazione a causa dei fenomeni di non linearità nel terreno e degli effetti cinematici associati al moto del terreno. Generalmente, alle sollecitazioni trasmesse dalla sovrastuttura si aggiungono, applicando il principio di sovrapposizione degli effetti, quelle derivanti dall'interazione cinematica che produce nei pali sollecitazioni aggiuntive dipendenti principalmente dalla rigidità relativa palo-terreno. Dalla letteratura esistente in merito a questo tipo di studi, emerge che nel caso di palo immerso in terreni stratificati, la sollecitazione flettente subisce un pronunciato incremento in prossimità dell'interfaccia fra strati di differente rigidità e tale incremento è tanto maggiore quanto più elevato è il contrasto di rigidità. In alcuni casi il valore del momento prodotto da questo effetto potrebbe superare quello che insorge nei pali in testa in presenza di incastro. Da un'analisi di numerosi risultati, *Nikolaou et al.2001*, ha proposto una relazione che consente di calcolare, in maniera approssimata, il momento flettente massimo in corrispondenza dell'interfaccia tra due strati di differente rigidità, in condizioni di moto stazionario con frequenza prossima alla frequenza fondamentale del deposito in cui è immerso il palo:

$$M = 0.042 \cdot \tau_c \cdot d^3 \cdot \left(\frac{L}{d}\right)^{0.30} \cdot \left(\frac{E_p}{E_1}\right)^{0.65} \cdot \left(\frac{E_p}{E_1}\right)^{0.65} \cdot \left(\frac{V_{s2}}{V_1}\right)^{0.50}$$

in cui $\tau_c = a_{\max} \rho_1 H_1$; a_{\max} accelerazione sismica, ρ_1 densità del terreno, H_1 spessore dello strato, V_{s1} e V_{s2} , rispettivamente, la velocità delle onde di taglio nei due strati; E_1 è modulo di rigidità dello strato superiore di terreno, E_p modulo di elasticità del palo, d diametro del palo, L lunghezza del palo.



Dati generali	
Descrizione	PALO INFISSO
Diametro punta	0.30 m
Lunghezza	5.00 m
Tipo	Pali elica
Portanza di punta calcolata con:	Berezantzev

SISMA	
Accelerazione sismica	0.247
Coefficiente di intensità sismico [Kh]	0.0691
Coefficiente di intensità sismico [Kv]	0.0346

Archivio materiali

Acciai:

Nr.	Classe Acciaio	Es [Kg/cm2]	fyk [Kg/cm2]	fyd [Kg/cm2]	ftk [Kg/cm2]	ftd [Kg/cm2]	ep_tk	epd_ult	$\beta_1*\beta_2$ in.	$\beta_1*\beta_2$ fin.
1	B450C	200000	450	391.3	450	391.3	.075	.0675	1	.5
2	B450C*	200000	450	391.3	540	450	.05	.04	1	.5
3	S235H	210000	235	204.35	360	204.35	.05	.04	1	.5
4	S275H	210000	275	239.13	430	239.13	.05	.04	1	.5
5	S355H	210000	355	308.7	510	308.7	.05	.04	1	.5

Stratigrafia

Nr.: Numero dello strato. Hs: Spessore dello strato. Fi: Angolo di attrito. c: Coesione Alfa: Coefficiente adesione attrito laterale. Vs: Velocità onde di taglio.

Strat. 1

Nr.	Hs	Peso unità di Volume [kg/m3]	Peso Unità di volume Saturo [kg/m3]	c [kg/cm2]	Fi (°)	Roccia	RQD (%)	Punta Palo [kg/cm2]	Attrito negativo	α	Modulo elastico [kg/cm2]
1	0.80	1720.00	1800.00	0.00	28.66	No	0.00	0.00	No	1.00	77.60
2	0.90	1760.00	1900.00	0.00	29.24	No	0.00	0.00	No	1.00	88.00
3	6.00	2090.00	2100.00	0.00	34.54	No	0.00	0.00	No	1.00	210.40

Tipologia

Diametro esterno

PV

0.3 m

Pali Elica

Diametro 0.50 m
 Altezza elica 0.50 m
 Spessore (ex) 10.00 mm
 Spessore (in) 10.00 mm
 Esclusione portata laterale NO
 Esclusione carico di punta NO

Tubolare

Diametro esterno 300 mm
 Spessore 10 mm
 Peso 0.00 kg/m
 Acciaio tipo S355H

Nr.	Posizione elica, riferimento punta (m)	Numero di eliche	Attivata
1	0.30	5	SI

Posizione elica, riferimento punta 0 m
 Fattori capacità portante (Nc, Nq, Ng) [9] [23.62] [0]
 Pressione efficace 0.71 kg/cm²
 Carico limite verticale 105945.10 kg
 Carico limite verticale totale. Apporto delle viti 105945.10 kg

Carico limite

Stratigrafia	Nq	Nc	Punta Palo	Peso palo [kg]	Carico limite punta [kg]	Carico limite laterale [kg]	Carico limite [kg]
A1+M1+R3	56.09	80.44	$\phi=34.405/c=0.00$	2650.72	0.00	111141.80	113792.60

Resistenza di Progetto Carichi Assiali

Resistenza caratteristica carichi assiali. Nome combinazione: A1+M1+R3
 Numero verticali di indagine 1
 Fattore correlazione verticale indagate media (xi3) 1.70
 Fattore correlazione verticale indagate minima (xi4) 1.70

	Rc, Min [kg]	Rc, Media [kg]	Rc, Max [kg]
Base	--	--	--
Laterale	111141.80	111141.80	111141.80
Totale	113792.60	113792.60	113792.60

Coefficiente parziale resistenza caratteristica R3
 Laterale 1.25
 Resistenza di progetto laterale 52302.04 kg
 Resistenza di progetto 54952.76 kg
 Azioni di progetto -21000.00 kg

Fattore sicurezza verticale 2.62

Cedimento (Fleming 1992)

Lunghezza 5.00 m
 Diametro testa 0.30 m
 Diametro punta 0.30 m
 Tratto attrito laterale nullo 0.00 m
 Modulo elastico sezione 2.02E+07 kN/mq
 Punto di applicazione risultante resistenza attiva 0.45
 Fattore flessibilità terreno/palo 1.00E-03
 Carico applicato 100.00 kN
 Carico limite laterale 47.06 kN
 Carico limite di punta 213.93 kN
 Modulo elastico terreno corrispondente 1.65E+03 kN/mq
 Accorciamento elastico 0.26 mm
 Cedimento rigido 85.75 mm
 Cedimento totale 86.01 mm

Modello ad elementi finiti

Max spostamento lineare del terreno	0.013 cm
Tipo analisi	Lineare
Massimo numero di iterazioni	1.00
Fattore di riduzione molla fondo scavo	1.00
Numero di elementi	9.00
Nodo sulla superficie del terreno [$< n^{\circ}$ nodi]	1.00
Modulo di reazione K_s	Bowles

Carichi

Forze orizzontali (F_o) positive dirette da destra a sinistra. Forze verticali (F_v) positive dirette verso il basso. Coppie (M) positive orarie.

Nodo	F_o [kg]	M [kgm]	F_v [kg]
1	16800.00	-41850.00	-21000.00

12. RELAZIONE GEOTECNICA INSEGUITORI FVT: PALO ELICA IN COMPRESSIONE

Normative di Riferimento

NTC2018 - Aggiornamento delle «Norme tecniche per le costruzioni» - D.M. 17 gennaio 2018

NTC2008 - Norme tecniche per le costruzioni - D.M. 14 Gennaio 2008.

CIRCOLARE 2 febbraio 2009, n. 617 - Istruzioni per l'applicazione delle 'Nuove norme tecniche per le costruzioni' di cui al decreto ministeriale 14 gennaio 2008. (GU n. 47 del 26-2-2009 - Suppl. Ordinario n.27)

Eurocodice 7: Progettazione geotecnica – Parte 1: Regole generali.

Eurocodice 8: Indicazioni progettuali per la resistenza sismica delle strutture - Parte 5: Fondazioni, strutture di contenimento ed aspetti geotecnici.

Carico limite verticale

Il carico limite verticale è stato calcolato con le formule statiche, che esprimono il medesimo in funzione della geometria del palo, delle caratteristiche del terreno e dell'interfaccia palo-terreno. A riguardo, poiché la realizzazione di un palo, sia esso infisso o trivellato, modifica sempre le caratteristiche del terreno nell'intorno dello stesso, si propone di assumere un angolo di resistenza a taglio pari a:

$$\begin{aligned}\phi' &= \frac{3}{4}\phi + 10 && \text{nei pali infissi} \\ \phi' &= \phi - 3^\circ && \text{nei pali trivellati}\end{aligned}$$

dove ϕ è l'angolo di resistenza a taglio prima dell'esecuzione del palo. Di seguito indicheremo con ϕ il parametro di resistenza scelto.

Ai fini del calcolo, il carico limite Q_{lim} viene convenzionalmente suddiviso in due aliquote, la resistenza alla punta Q_p e la resistenza laterale Q_l .

Resistenza unitaria alla punta

Formula di Terzaghi

La soluzione proposta da Terzaghi assume che il terreno esistente al disopra della profondità raggiunta dalla punta del palo possa essere sostituito da un sovraccarico equivalente pari alla tensione verticale efficace (trascurando pertanto il fatto che l'interazione tra palo e terreno di fondazione possa modificare tale valore) e riconduce l'analisi al problema di capacità portante di una fondazione superficiale.

La formula di *Terzaghi* può essere scritta:

$$Q_p = c \cdot N_c \cdot s_c + \gamma \cdot L \cdot N_q + 0.5 \cdot \gamma \cdot D \cdot N_\gamma \cdot s_\gamma$$

dove:

$$N_q = \frac{a^2}{2\cos^2(45 + \phi/2)}$$

$$a = e^{(0.75\pi - \phi/2)\tan\phi}$$

$$N_c = (N_q - 1)\cot\phi$$

$$N_\gamma = \frac{\tan\phi}{2} \left(\frac{K_{p\gamma}}{\cos^2\phi} - 1 \right)$$

Metodo di Berezantzev

Fondamentalmente *Berezantzev* fa riferimento ad una superficie di scorrimento “alla Terzaghi” che si arresta sul piano di posa (punta del palo); tuttavia egli considera che il cilindro di terreno coassiale al palo ed avente diametro pari all'estensione in sezione della superficie di scorrimento, sia in parte “sostenuto” per azione tangenziale dal rimanente terreno lungo la superficie laterale. Ne consegue un valore della pressione alla base inferiore a γD , e tanto minore quanto più questo “effetto silo” è marcato, cioè quanto più grande è il rapporto D/B ; di ciò tiene conto il coefficiente N_q , che quindi è funzione decrescente di D/B .

La resistenza unitaria Q_p alla punta, per il caso di terreno dotato di attrito (ϕ) e di coesione (c), è data dall'espressione:

$$Q_p = c \cdot N_c + \gamma \cdot L \cdot N_q$$

Avendo indicato con:

- γ peso unità di volume del terreno;
- L lunghezza del palo;
- N_c e N_q sono i fattori di capacità portante già comprensivi dell'effetto forma (circolare);

Metodo di Vesic

Vesic ha assimilato il problema della rottura intorno alla punta del palo a quello di espansione di una cavità cilindrica in mezzo elasto-plastico, in modo da tener conto anche della compressibilità del mezzo.

Secondo *Vesic* i coefficienti di capacità portante N_q e N_c si possono calcolare come segue:

$$N_q = \frac{3}{3 - \sin \phi} \left\{ \exp \left[\left(\frac{\pi}{2} - \phi \right) \tan \phi \right] \tan^2 \left(45 + \frac{\phi}{2} \right) I_{rr}^{(4 \sin \phi) / [3(1 + \sin \phi)]} \right\}$$

L'indice di rigidezza ridotto I_{rr} , nella precedente espressione viene calcolato a partire dalla deformazione volumetrica ε_v .

L'indice di rigidezza I_r si calcola utilizzando il modulo di elasticità tangenziale G' e la resistenza a taglio s del terreno.

Quando si hanno condizioni non drenate o il suolo si trova in uno stato addensato, il termine ε_v può essere assunto pari a zero e si ottiene $I_{rr} = I_r$.

E' possibile fare una stima di I_r con i valori seguenti:

TERRENO	I_r
Sabbia	75-150
Limo	50-75
Argilla	150-250

Il termine N_c della capacità portante viene calcolato:

$$N_c = (N_q - 1) \cot \phi \quad (a)$$

Quando $\phi = 0$ (condizioni non drenate)

$$N_c = \frac{4}{3} (\ln I_{rr} + 1) + \frac{\pi}{2} + 1$$

Metodo di Janbu

Janbu calcola N_q (con l'angolo ψ espresso in radianti) come segue:

$$N_q = \left(\tan \phi + \sqrt{1 + \tan^2 \phi} \right)^2 \exp(2\psi \tan \phi)$$

N_c si può ricavare dalla (a) quando $\phi > 0$.

Per $\phi = 0$ si usa $N_c = 5.74$

Formula di Hansen

La formula di Hansen vale per qualsiasi rapporto D/B , quindi sia per fondazioni superficiali che profonde, ma lo stesso autore introdusse dei coefficienti per meglio interpretare il comportamento reale della fondazione, senza di essi, infatti, si avrebbe un aumento troppo forte del carico limite con la profondità.

Per valori $L/D > 1$:

$$d_c = 1 + 0.4 \tan^{-1} \frac{L}{D}$$

$$d_q = 1 + 2 \tan \phi (1 - \sin \phi)^2 \tan^{-1} \frac{L}{D}$$

Nel caso $\phi = 0$

D/B	0	1	1.1	2	5	10	20	100
d'_c	0	0.40	0.33	0.44	0.55	0.59	0.61	0.62

Nei fattori seguenti le espressioni con apici (') valgono quando $\phi = 0$.

Fattore di forma:

$$s'_c = 0.2 \cdot \frac{D}{L}$$

$$s_c = 1 + \frac{N_q}{N_c} \cdot \frac{D}{L}$$

$$s_q = 1 + \frac{D}{L} \cdot \tan \phi$$

$$s_q = 1 + \frac{D}{L} \cdot \tan \phi$$

$$s_\gamma = 1 - 0.4 \cdot \frac{D}{L}$$

Fattore di profondità:

$$d'_c = 0.4 \cdot k$$

$$d_c = 1 + 0.4k$$

$$d_q = 1 + 2 \tan \phi \cdot (1 - \sin \phi) \cdot k$$

$$d_\gamma = 1 \text{ perqualsiasik}$$

$$k = \tan^{-1} \frac{L}{D} \text{ se } \frac{L}{D} > 1$$

Resistenza del fusto

Il metodo utilizzato per il calcolo della capacità portante laterale è il metodo α , proposto da Tomlinson (1971); la resistenza laterale viene calcolata nel seguente modo:

$$Q_1 = (\alpha c + \sigma K \tan \delta) \cdot A_l \cdot f_w$$

A_l = superficie laterale del palo;

f_w = fattore di correzione legato alla tronco-conicità del palo, ossia la diminuzione percentuale del diametro del palo con

c = valore medio della coesione (o della resistenza a taglio in condizioni non drenate);

σ = pressione verticale efficace del terreno;

K = coefficiente di spinta orizzontale, dipendente dalla tecnologia di esecuzione del palo e dal precedente stato di addensamento, viene calcolato come segue:

Per pali infissi

$$K = 1 - \tan^2\phi$$

o, nel caso specifico, è possibile assegnare i seguenti valori proposti in tabella:

Palo	K	
	Terreno sciolto	Terreno denso
Acciaio	0.5	1
Calcestr. Pref.	1	2
Legno	1	3

Per pali trivellati

$$K = 1 - \text{sen}\phi$$

δ = attrito palo-terreno funzione della scabrezza della superficie del palo;

Per pali infissi

$$\delta = 3/4 \tan\phi$$

Per pali trivellati

$$\delta = \tan\phi$$

α = coefficiente d'adesione ricavato come di seguito riportato:

Pali trivellati:

Caquot - Kerisel
$$\alpha = \frac{100 + c^2}{100 + 7c^2}$$

Meyerhof - Murdock (1963)
$$\alpha = 1 - 0.1 \cdot c \text{ per } c < 5 \text{ t/m}^2$$

$$\alpha = 0.525 - 0.005 \cdot c \text{ per } c \geq 5 \text{ t/m}^2$$

Whitaker - Cooke (1966)
$$\alpha = 0.9 \text{ per } c < 2.5 \text{ t/m}^2$$

$$\alpha = 0.8 \text{ per } 2.5 \leq c < 5 \text{ t/m}^2$$

$$\alpha = 0.6 \text{ per } 5 \leq c \leq 7.5 \text{ t/m}^2$$

$$\alpha = 0.9 \text{ per } c > 7.5 \text{ t/m}^2$$

Woodward (1961)
$$\alpha = 0.9 \text{ per } c < 4 \text{ t/m}^2$$

$$\alpha = 0.6 \text{ per } 4 \leq c < 8 \text{ t/m}^2$$

$$\alpha = 0.5 \text{ per } 8 \leq c < 12 \text{ t/m}^2$$

$$\alpha = 0.4 \text{ per } 12 \leq c \leq 20 \text{ t/m}^2$$

$$\alpha = 0.20 \text{ per } c > 20 \text{ t/m}^2$$

Pali infissi

Coefficiente α per palo infisso	
$2.5 \leq c < 5 \text{ t/m}^2$	$\alpha = 1.00$
$5 \leq c < 10$	$\alpha = 0.70$
$10 \leq c < 15$	$\alpha = 0.50$
$15 \leq c < 20$	$\alpha = 0.40$
$c \geq 20$	$\alpha = 0.30$

Attrito negativo

Quando un palo viene infisso o passa attraverso uno strato di materiale compressibile prima che si sia esaurito il processo di consolidazione, il terreno si muoverà rispetto al palo facendo insorgere sforzi attritivi tra palo e terreno che inducono al cosiddetto fenomeno dell'attrito negativo. L'effetto dell'attrito negativo è quello di aumentare il carico assiale sul palo, con conseguente aumento del cedimento, dovuto all'accorciamento elastico del palo stesso per effetto dell'aumento di carico. La forza che nasce per effetto dell'attrito negativo è stimata pari alla componente attritiva della resistenza laterale (vedi Resistenza del fusto) lungo la superficie laterale a contatto con lo strato in cui si genera tale fenomeno, ma di verso opposto all'attrito positivo. La risultante così determinata non viene detratta dal carico limite, ma da quello di esercizio.

Fattore di correzione in condizioni sismiche

Criterio di Vesic

Secondo questo autore per tenere conto del fenomeno della dilatanza nel calcolo della capacità portante è sufficiente diminuire di 2° l'angolo d'attrito degli strati di fondazione. Il limite di questo suggerimento è nel fatto che non tiene conto dell'intensità della sollecitazione sismica (espressa attraverso il parametro dell'accelerazione sismica orizzontale massima). Questo criterio pare però trovare conferma nelle osservazioni fatte in occasione di diversi eventi sismici.

Criterio di Sano

L'autore propone di diminuire l'angolo d'attrito degli strati portanti di una quantità data dalla relazione:

$$D_p = \arctg\left(\frac{a_{max}}{\sqrt{2}}\right)$$

dove a_{max} è l'accelerazione sismica orizzontale massima.

Questo criterio, rispetto a quello di *Vesic*, ha il vantaggio di prendere in considerazione anche l'intensità della sollecitazione sismica. L'esperienza però dimostra che l'applicazione acritica di questa relazione può condurre a valori eccessivamente cautelativi di *Qlim*.

Le correzioni di *Sano* e di *Vesic* si applicano esclusivamente a terreni incoerenti ben addensati. È errato applicarle a terreni sciolti o mediamente addensati, dove le vibrazioni sismiche producono il fenomeno opposto a quello della dilatanza, con aumento del grado di addensamento e dell'angolo d'attrito.

Cedimenti metodo di Davis-Poulos

Il cedimento verticale è stato calcolato con il metodo di *Davis-Poulos*, secondo il quale il palo viene considerato rigido (indeformabile) immerso in un mezzo elastico, semispazio o strato di spessore finito.

Si ipotizza che l'interazione palo-terreno sia costante a tratti lungo n superfici cilindriche in cui viene suddivisa la superficie laterale del palo.

Il cedimento della generica superficie i per effetto del carico trasmesso dal palo al terreno lungo la superficie j -esima può essere espresso:

$$W_{i,j} = (\tau_j / E) \cdot B \cdot I_{i,j}$$

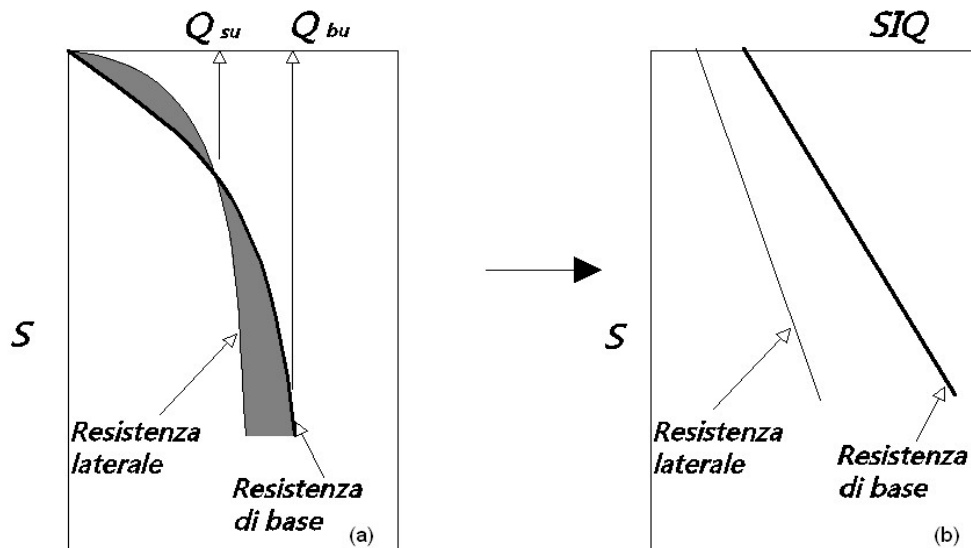
Avendo indicato con:

- τ_j = Incremento di tensione relativo al punto medio della striscia
- E = Modulo elastico del terreno
- B = Diametro del palo
- $I_{i,j}$ = Coefficiente di influenza

Il cedimento complessivo si ottiene sommando $W_{i,j}$ per tutte le j aree

Cedimento Metodo Iperbolico

Il metodo iperbolico modificato rappresenta uno sviluppo dello studio di Chin (1970,1972,1983) che consente di stimare il cedimento di pali singoli partendo dall'idea che il diagramma carico-cedimento, per il corpo di un palo e la sua base, abbia un andamento iperbolico. I valori del *carico ultimo laterale* (Q_{su}) e la *resistenza di base ultima* (Q_{bu}) rappresentano i termini asintotici della curva (figura a) (Terzaghi, 1943). Sotto queste ipotesi è possibile giungere ad una rappresentazione linearizzata del problema considerando la variazione della quantità S/Q rispetto allo spostamento S (figura b).



Grafici cedimento iperbolico (a) e linearizzato (b).

Grafici cedimento iperbolico (a) e linearizzato (b)

Lo studio di Fleming ha dimostrato che gli spostamenti totali stimati col metodo di Chin erano distorti dall'*accorciamento elastico* del corpo del palo e suggerì una tecnica semplificata per la quale la deformazione elastica del palo può essere determinata, con sufficiente accuratezza, sottraendo alla stima di Chin l'accorciamento del palo.

Considerando lo schema in figura l'accorciamento elastico del palo dipende dal carico applicato Q in rapporto all'attrito laterale ultimo Q_{su} . In particolare se $Q \leq Q_{su}$ la deformazione elastica del corpo del palo corrisponde alla somma dell'accorciamento elastico lungo la zona ad *attrito basso o nullo* e quello che si sviluppa lungo la parte *attiva* del fusto:

$$S_e = \frac{4Q(L_o + K_s L_a)}{\pi d_s^2 E_c}$$

Se, invece, si ha che $Q > Q_{su}$ bisogna considerare un ulteriore accorciamento legato alla parte attiva del palo che deve essere aggiunta alla deformazione elastica:

$$S_s = \frac{4}{\pi} \frac{1}{d_s^2 E_c} [Q(L_o + L_a) - L_a Q_{su}(1 - k_s)]$$

I parametri della formula sono:

- d_s : diametro testa del palo.
- E_c : modulo di elasticità del materiale del palo il cui valore può essere ricavato da una interpolazione lineare tra i valori di $E_c=26 \cdot 10^6$ kN/m² per calcestruzzo con forza specifica di 20 N/mm² e il valore di $E_c=40 \cdot 10^6$ kN/m² per calcestruzzo da 40 N/mm².
- L_o : lunghezza del palo ad attrito basso o nullo.
- L_a : lunghezza attiva del palo.
- k_s : rapporto della lunghezza equivalente del fusto del palo rispetto alla lunghezza attiva L_a . Si può considerare un valore di 0.5 quando si ha un attrito che si sviluppa uniformemente lungo L_a oppure quando il palo è inserito in sabbia o ghiaia. Per pali in argilla caratterizzati da uno sforzo che cresce in profondità si può usare un valore di 0.45.

Lo spostamento del *palo rigido* può essere calcolato sapendo che la somma dell'attrito laterale e della resistenza di base corrisponde al carico totale applicato alla testa del palo.

$$Q = Q_s + Q_b$$

Considerando il palo rigido lo spostamento totale in testa è uguale a quello che si ottiene lungo il fusto ed è uguale a quello misurato alla base del palo:

$$S_t = S_s = S_b$$

Dal grafico linearizzato si può vedere che lo spostamento lungo il fusto del palo può essere calcolato come:

$$S_s = \frac{M_s d_s Q_s}{Q_{su} - Q_s}$$

In cui

- M_s : fattore adimensionale di flessibilità terreno/fusto.
- d_s : diametro testa.
- Q_s : attrito.
- Q_{su} : attrito ultimo determinato col metodo statico (condizione drenata)

L'equazione dello spostamento alla base del palo ricavata da Fleming è:

$$S_b = \frac{0.6 Q_{bu} Q_b}{d_b E_b (Q_{bu} - Q_b)}$$

dove

- d_b : diametro della base del palo.
- Q_b : resistenza alla base.
- Q_{bu} : resistenza ultima alla base
- E_b : modulo di taglio corrispondente a $Q_{bu}/4$

Infine, ponendo la condizione di uguaglianza $S_s=S_b$ e considerando il carico totale applicato Q si ottiene lo spostamento totale di un palo rigido considerando solo i valori positivi della relazione:

$$S_t = \frac{-g \pm \sqrt{g^2 - 4fh}}{2f}$$

In cui le variabili sono così definite:

- $f = \eta(Q - \alpha) - \beta$
- $g = Q(\delta + \lambda\eta) - \alpha\delta - \beta\lambda$
- $h = \lambda\delta Q$
- $\alpha = Q_{su}$
- $\beta = d_b E_b Q_{bu}$
- $\lambda = M_s d_s$
- $\delta = 0.6 Q_{bu}$
- $\eta = d_b E_b$

Lo spostamento complessivo del palo comprende la componente di spostamento rigido e quella di accorciamento elastico.

Il modulo elastico del terreno E_b al di sotto della base del palo è legato alle caratteristiche del terreno ed è fortemente influenzato dalla tecnica di costruzione del palo. Fleming sostiene che è consigliabile che questo parametro di progetto sia determinato da un insieme accurato di prove in cui i pali sono caricati fino al punto in cui viene mobilitata una sostanziale quota della resistenza di punta. In mancanza di questi dati si può scegliere, cautelativamente, il valore di E_b da range di valori relativi al tipo di terreno e alla tecnica di costruzione del palo.

CARICO LIMITE ORIZZONTALE

Il carico limite orizzontale è stato calcolato secondo la teoria sviluppata da Broms il quale assume che il comportamento dell'interfaccia palo-terreno sia di tipo rigido perfettamente plastico, e cioè che la resistenza del terreno si mobilita interamente per un qualsiasi valore non nullo dello spostamento a rimanga costante al crescere dello spostamento stesso. Si assume che il comportamento flessionale del palo sia di tipo rigido-perfettamente plastico, vale a dire che le rotazioni elastiche del palo sono trascurabili finché il momento flettente non raggiunge il valore M_Y di plasticizzazione.

Per i terreni coesivi Broms propone di adottare una reazione del terreno costante con la profondità pari a:

$$p = 9 \cdot c_u \cdot B$$

con reazione nulla fino alla profondità di 1.5 d; avendo indicato con:

c_u = Coesione non drenata,

B = Diametro del palo

p = Reazione del terreno per unità di lunghezza del palo.

Per i terreni incoerenti si assume che la resistenza vari linearmente con la profondità secondo la legge:

$$p = 3K_p \gamma z \cdot B$$

avendo indicato con:

p = Reazione del terreno per unità di lunghezza del palo;

K_p = Coefficiente di spinta passiva;

γ = Peso unità di volume del terreno;

z = Profondità;

B = Diametro del palo.

Palo in condizioni d'esercizio

Analisi del palo in condizioni di esercizio: **Metodo degli elementi finiti**.

Il metodo degli elementi finiti modella il palo di fondazione, sottoposto a carichi trasversali, in modo realistico in quanto fa uso sia degli spostamenti che delle rotazioni ai nodi per definire la linea elastica del palo, pertanto rappresenta il metodo più razionale ed efficace attualmente disponibile per analizzare questo tipo di strutture.

Di seguito si richiamano i fondamenti teorici del metodo indicando con **P** la matrice delle forze nodali esterne, con **F** quella delle forze interne e con **A** la matrice dei coefficienti di influenza che, per l'equilibrio tra forze esterne ed interne, lega le prime due secondo la ben nota forma:

$$\mathbf{P} = \mathbf{A}\mathbf{F}$$

Gli spostamenti interni **e** (traslazioni e rotazioni) dell'elemento nel generico nodo sono legati agli spostamenti esterni **X** (traslazioni e rotazioni) applicati ai nodi, dalla seguente relazione:

$$\mathbf{e} = \mathbf{B}\mathbf{X}$$

dove la matrice **B** è dimostrato essere la trasposta della matrice **A**.

D'altra parte, le forze interne **F** sono legate agli spostamenti interni **e** dalla seguente espressione:

$$\mathbf{F} = \mathbf{S}\mathbf{e}$$

Applicando le consuete sostituzioni, si ottiene:

$$\mathbf{F} = \mathbf{S}\mathbf{A}^T\mathbf{X}$$

e quindi

$$\mathbf{P} = \mathbf{A}\mathbf{F} = \mathbf{A}\mathbf{S}\mathbf{A}^T\mathbf{X}$$

Pertanto, calcolando l'inversa della matrice $\mathbf{A}\mathbf{S}\mathbf{A}^T$ si ricava l'espressione degli spostamenti esterni **X**:

$$\mathbf{X} = (\mathbf{A}\mathbf{S}\mathbf{A}^T)^{-1}\mathbf{P}$$

Noti, quindi, gli spostamenti **X** è possibile ricavare le forze interne **F** necessarie per il progetto della struttura.

La matrice $\mathbf{A}\mathbf{S}\mathbf{A}^T$ è nota come matrice di rigidità globale in quanto caratterizza il legame tra spostamenti e forze esterni nodali.

Il metodo ad elementi finiti ha, tra l'altro, il vantaggio di consentire di mettere in conto, come condizioni al contorno, rotazioni e spostamenti noti.

Le reazioni nodali delle molle che schematizzano il terreno vengono considerate come forze globali legate al modulo di reazione e all'area d'influenza del nodo. Nella soluzione ad elementi finiti per pali soggetti a carichi trasversali, il modulo di reazione viene considerato nella forma:

$$k_s = A_s + B_s Z^n$$

o, non volendo far crescere illimitatamente il k_s con la profondità, nella forma:

$$k_s = A_s + B_s \tan^{-1}(Z/B)$$

nella quale **Z** è la profondità e **B** è il diametro del palo.

I valori di A_s e $B_s Z^n$ sono ottenuti dall'espressione della capacità portante (Bowles) con fattori correttivi s_i , d_i , e i_i pari a 1:

$$k_s = q_{ult}/\Delta H = C(cN_c + 0.5\gamma B N_\gamma)$$

$$B_s Z^n = C(\gamma N_q Z^1)$$

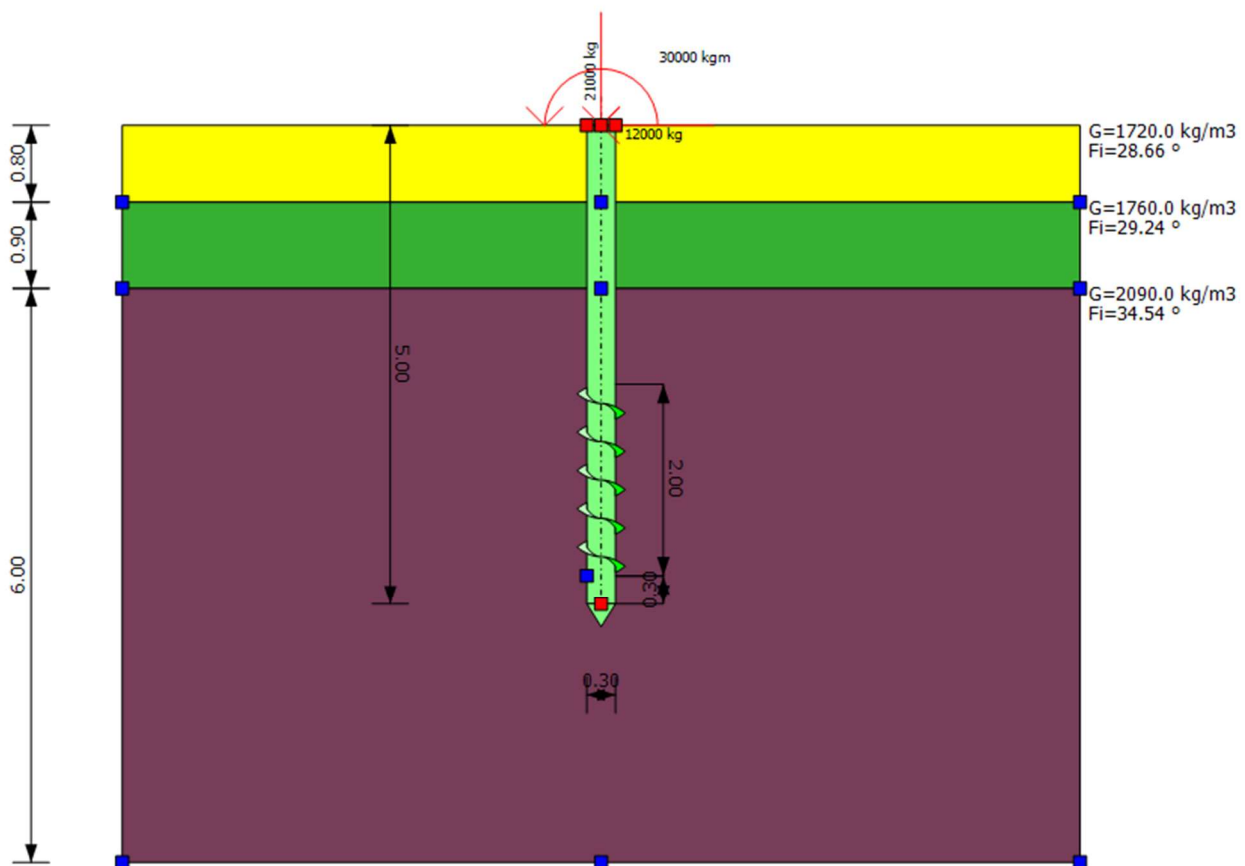
Dove $C = 40$ è ottenuto in corrispondenza di un cedimento massimo di 25 mm.

Momenti cinematici

In presenza dell'azione sismica la risposta del palo è il risultato di una complessa interazione terreno-palo, resa di difficile interpretazione a causa dei fenomeni di non linearità nel terreno e degli effetti cinematici associati al moto del terreno. Generalmente, alle sollecitazioni trasmesse dalla sovrastuttura si aggiungono, applicando il principio di sovrapposizione degli effetti, quelle derivanti dall'interazione cinematica che produce nei pali sollecitazioni aggiuntive dipendenti principalmente dalla rigidezza relativa palo-terreno. Dalla letteratura esistente in merito a questo tipo di studi, emerge che nel caso di palo immerso in terreni stratificati, la sollecitazione flettente subisce un pronunciato incremento in prossimità dell'interfaccia fra strati di differente rigidezza e tale incremento è tanto maggiore quanto più elevato è il contrasto di rigidezza. In alcuni casi il valore del momento prodotto da questo effetto potrebbe superare quello che insorge nei pali in testa in presenza di incastro. Da un'analisi di numerosi risultati, *Nikolaou et al.2001*, ha proposto una relazione che consente di calcolare, in maniera approssimata, il momento flettente massimo in corrispondenza dell'interfaccia tra due strati di differente rigidezza, in condizioni di moto stazionario con frequenza prossima alla frequenza fondamentale del deposito in cui è immerso il palo:

$$M = 0.042 \cdot \tau_c \cdot d^3 \cdot \left(\frac{L}{d}\right)^{0.30} \cdot \left(\frac{E_p}{E_1}\right)^{0.65} \cdot \left(\frac{E_p}{E_1}\right)^{0.65} \cdot \left(\frac{V_{s2}}{V_1}\right)^{0.50}$$

in cui $\tau_c = a_{\max} \rho_1 H_1$; a_{\max} accelerazione sismica, ρ_1 densità del terreno, H_1 spessore dello strato, V_{s1} e V_{s2} , rispettivamente, la velocità delle onde di taglio nei due strati; E_1 è modulo di rigidezza dello strato superiore di terreno, E_p modulo di elasticità del palo, d diametro del palo, L lunghezza del palo.



Dati generali	
Descrizione	PALO INFISSO
Diametro punta	0.30 m
Lunghezza	5.00 m
Tipo	Pali elica
Portanza di punta calcolata con:	Berezantzev

SISMA	
Accelerazione sismica	0.247
Coefficiente di intensità sismico [Kh]	0.0691
Coefficiente di intensità sismico [Kv]	0.0346

Archivio materiali

Acciai:

Nr.	Classe Acciaio	Es [Kg/cm2]	fyk [Kg/cm2]	fyd [Kg/cm2]	ftk [Kg/cm2]	ftd [Kg/cm2]	ep_tk	epd_ult	$\beta 1 * \beta 2$ in.	$\beta 1 * \beta 2$ fin.
1	B450C	200000	450	391.3	450	391.3	.075	.0675	1	.5
2	B450C*	200000	450	391.3	540	450	.05	.04	1	.5
3	S235H	210000	235	204.35	360	204.35	.05	.04	1	.5
4	S275H	210000	275	239.13	430	239.13	.05	.04	1	.5
5	S355H	210000	355	308.7	510	308.7	.05	.04	1	.5

Stratigrafia

Nr.: Numero dello strato. Hs: Spessore dello strato. Fi: Angolo di attrito. c: Coesione Alfa: Coefficiente adesione attrito laterale. Vs: Velocità onde di taglio.

Strat. 1

Nr.	Hs	Peso unità di Volume [kg/m3]	Peso Unità di volume Saturo [kg/m3]	c [kg/cm2]	Fi (°)	Roccia	RQD (%)	Punta Palo [kg/cm2]	Attrito negativo	α	Modulo elastico [kg/cm2]
1	0.80	1720.00	1800.00	0.00	28.66	No	0.00	0.00	No	1.00	77.60
2	0.90	1760.00	1900.00	0.00	29.24	No	0.00	0.00	No	1.00	88.00
3	6.00	2090.00	2100.00	0.00	34.54	No	0.00	0.00	No	1.00	210.40

Tipologia

Diametro esterno

PV

0.3 m

Pali Elica

Diametro 0.50 m
 Altezza elica 0.50 m
 Spessore (ex) 10.00 mm
 Spessore (in) 10.00 mm
 Esclusione portata laterale NO
 Esclusione carico di punta NO

Tubolare

Diametro esterno 300 mm
 Spessore 10 mm
 Peso 0.00 kg/m
 Acciaio tipo S355H

Nr.	Posizione elica, riferimento punta (m)	Numero di eliche	Attivata
1	0.30	5	SI

Posizione elica, riferimento punta 0 m
 Fattori capacità portante (Nc, Nq, Ng) [9] [23.62] [0]
 Pressione efficace 0.71 kg/cm²
 Carico limite verticale 105945.10 kg
 Carico limite verticale totale. Apporto delle viti 105945.10 kg

Carico limite

Stratigrafia	Nq	Nc	Punta Palo	Peso palo [kg]	Carico limite punta [kg]	Carico limite laterale [kg]	Carico limite [kg]
A1+M1+R3	56.09	80.44	$\phi=34.405/c=0.00$	2650.72	39077.64	111141.80	147568.80

Resistenza di Progetto Carichi Assiali

Resistenza caratteristica carichi assiali. Nome combinazione: A1+M1+R3
 Numero verticali di indagine 1
 Fattore correlazione verticale indagate media (xi3) 1.70
 Fattore correlazione verticale indagate minima (xi4) 1.70

	Rc, Min [kg]	Rc, Media [kg]	Rc, Max [kg]
Base	39077.64	39077.64	39077.64
Laterale	111141.80	111141.80	111141.80
Totale=Base+Laterale-Peso palo	147568.80	147568.80	147568.80

Coefficiente parziale resistenza caratteristica R3
 Base 1.30
 Laterale 1.15
 Resistenza di progetto base 17682.19 kg
 Resistenza di progetto laterale 56850.05 kg
 Resistenza di progetto 71881.52 kg
 Azioni di progetto 21000.00 kg

Fattore sicurezza verticale 3.42

Cedimento (Fleming 1992)

Lunghezza 5.00 m
 Diametro testa 0.30 m
 Diametro punta 0.30 m
 Tratto attrito laterale nullo 0.00 m
 Modulo elastico sezione 2.02E+07 kN/mq
 Punto di applicazione risultante resistenza attiva 0.45
 Fattore flessibilità terreno/palo 1.00E-03
 Carico applicato 100.00 kN
 Carico limite laterale 47.06 kN
 Carico limite di punta 213.93 kN
 Modulo elastico terreno corrispondente 1.65E+03 kN/mq
 Accorciamento elastico 0.26 mm
 Cedimento rigido 85.75 mm
 Cedimento totale 86.01 mm

Modello ad elementi finiti

Max spostamento lineare del terreno	0.013 cm
Tipo analisi	Lineare
Massimo numero di iterazioni	1.00
Fattore di riduzione molla fondo scavo	1.00
Numero di elementi	9.00
Nodo sulla superficie del terreno [$< n^{\circ}$ nodi]	1.00
Modulo di reazione Ks	Bowles

Carichi

Forze orizzontali (Fo) positive dirette da destra a sinistra. Forze verticali (Fv) positive dirette verso il basso. Coppie (M) positive orarie.

Nodo	Fo [kg]	M [kgm]	Fv [kg]
1	12000.00	-30000.00	21000.00